

T.C.

NEVŞEHİR HACI BEKTAŞ VELİ ÜNİVERSİTESİ  
FEN BİLİMLERİ ENSTİTÜSÜ

*Montivipera wagneri* ve *M. raddei* ENGEREK TÜRLERİNİN  
ZEHİRLERİNDEN L-AMİNO ASİT OKSİDAZ ENZİMİNİN  
KISMİ SAFLAŞTIRILMASI

Tezi Hazırlayan  
Meryem İrem DURĞUN

Tez Danışmanı  
Doç. Dr. Naşit İĞCİ

Moleküler Biyoloji ve Genetik Anabilim Dalı  
Yüksek Lisans Tezi

Temmuz 2024  
Nevşehir



T.C.

NEVŞEHİR HACI BEKTAŞ VELİ ÜNİVERSİTESİ  
FEN BİLİMLERİ ENSTİTÜSÜ

*Montivipera wagneri* ve *M. raddei* ENGEREK TÜRLERİNİN  
ZEHİRLERİNDEN L-AMİNO ASİT OKSİDAZ ENZİMİNİN  
KISMİ SAFLAŞTIRILMASI

Tezi Hazırlayan  
Meryem İrem DURĞUN

Tez Danışmanı  
Doç. Dr. Naşit İĞCİ

Moleküler Biyoloji ve Genetik Anabilim Dalı  
Yüksek Lisans Tezi

Temmuz 2024

## KABUL VE ONAY SAYFASI

Doç. Dr. Naşit İĞCİ danışmanlığında Meryem İrem DURĞUN tarafından hazırlanan **“Montivipera wagneri ve M. raddei Engerek Türlerinin Zehirlerinden L-Amino Asit Oksidaz Enziminin Kısmi Saflaştırılması”** başlıklı bu çalışma, jürimiz tarafından Nevşehir Hacı Bektaş Veli Üniversitesi Fen Bilimleri Enstitüsü Moleküler Biyoloji ve Genetik Anabilim Dalında **Yüksek Lisans Tezi** olarak kabul edilmiştir.

14/06/2024

### JÜRİ

Başkan : Doç. Dr. Figen ÇALIŞKAN

Üye : Doç. Dr. Naşit İĞCİ

Üye : Dr. Öğr. Üyesi Enver Ersoy ANDEDEN

### ONAY:

Bu tezin kabulü Enstitü Yönetim Kurulunun ..... tarih ve ..... sayılı kararı ile onaylanmıştır.

... / ... / 2024

Prof. Dr. Cemal ÇARBOĞA  
Enstitü Müdürü

## **TEZ BİLDİRİM SAYFASI**

Tez yazım kurallarına uygun olarak hazırlanan bu çalışmada yer alan bütün bilgilerin bilimsel ve akademik kurallar çerçevesinde elde edilerek sunulduğunu ve bana ait olmayan her türlü ifade ve bilginin kaynağın eksiksiz atıf yapıldığını bildiririm.

Meryem İrem DURĞUN



## **TEŞEKKÜR**

Yüksek lisans öğrenimim ve tez çalışmam süresince engin bilgi ve birikimlerini benimle paylaşan, her türlü konuda desteğini benden esirgemeyen ve tezimde büyük emeği olan, aynı zamanda rol modelim olarak da bana çok şey katan danışmanım Sayın Doç. Dr. Naşit İĞCİ'ye,

Maddi ve manevi olarak her zaman desteklerini hissettiren değerli AİLEME,  
Zehir örneklerinin teminindeki arazi çalışmalarından bazlarına katılarak destek vermiş olan Prof. Dr. Mehmet Zülfü YILDIZ (Adiyaman Üniversitesi Biyoloji Bölümü), Dr. Öğr. Üyesi Bahadır AKMAN (Iğdır Üniversitesi Teknik Bilimler MYO), Dr. Konrad MEBERT (İsviçre) ve merhum Prof. Dr. Bayram GÖÇMEN'e,

Yüksek basınçlı sıvı kromatografi analizleri için laboratuvar imkanlarından faydalandığımız Nevşehir Hacı Bektaş Veli Üniversitesi Bilim ve Teknoloji Uygulama ve Araştırma Merkezi'ne,

Bu çalışmayı TEZ22F10 nolu projeye destekleyen Nevşehir Hacı Bektaş Veli Üniversitesi Bilimsel Araştırma Projeleri Koordinasyon Birimi'ne teşekkür ederim.

**Montivipera wagneri ve M. raddei ENGEREK TÜRLERİNİN ZEHİRLERİNDEN  
L-AMİNO ASİT OKSİDAZ ENZİMİNİN KISMİ SAFLAŞTIRILMASI**

**(Yüksek Lisans Tezi)**

**Meryem İrem DURĞUN**

**NEVŞEHİR HACI BEKTAŞ VELİ ÜNİVERSİTESİ FEN BİLİMLERİ  
ENSTİTÜSÜ**

**Temmuz 2024**

**ÖZET**

Yılan zehrinin bir bileşeni olan L-amino asit oksidaz (LAAO), L-amino asidin  $\alpha$ -keto aside oksidatif deaminasyonunu katalize ederek hidrojen peroksit ( $H_2O_2$ ) üreten bir flavoenzimdir. L-amino asit oksidaz, apoptoz indüksiyonu, trombosit agregasyonu, kanama, hemostaz ile etkileşim, ödem oluşumu, antitümör, antiparazit, antienflamatuar, antimikrobiyal, anti-HIV, antilayşmanyaz ve zehirlenme toksisitesi gibi çok çeşitli biyolojik aktivitelere sahiptir. Bu aktiviteleri, kanser ve AIDS gibi bazı hastalıklarda terapötik ajan olarak kullanılma potansiyeline gündeme getirmiştir.

Bu tez kapsamında yapılan çalışmada *Montivipera wagneri* ve *M. raddei* zehirlerinden LAAO enziminin kısmi saflaştırılması gerçekleştirılmıştır. Bu amaçla jel filtrasyon kromatografisi ile fraksiyonlama yapılmıştır. Her bir fraksiyonun enzim aktivitesi substrat olarak L-lösin kullanılarak gerçekleştirilen spektrofotometrik ölçüm ile test edilmiş ve LAAO enziminin aktif olduğu fraksiyon belirlenmiştir. Ayrıca SDS-PAGE yöntemi ile iki tür için LAAO enzim aktivitesi belirlenen fraksiyonlardaki proteinlerin indirgenmiş ve indirgenmemiş olarak molekül ağırlıkları belirlenmiştir.

Sonuç olarak *M. wagneri* ve *M. raddei* türlerinin zehrinde belirgin aktiviteye sahip LAAO enzimi bulunduğu tespit edilmiş, kısmi saflaştırılması gerçekleştirilerek enzimin yapısı ve aktivitesi hakkında bilgi edinilmiştir. Mevcut tez bu amaçla gerçekleştirilmiş ilk çalışmadır. Bu çalışma ile *M. raddei* ve endemik tür olan *M. wagneri* zehirlerinden LAAO saflaştırılması ve karakterizasyonun yapılarak enzimin biyoteknolojik açıdan değerlendirilmesi için önemli bir adım atılmıştır.

**Anahtar kelimeler:** *Montivipera wagneri*, *Montivipera raddei*, *Yılan zehri*, *L-amino asit oksidaz*, *Saflaştırma*

**Tez Danışmanı: Doç. Dr. Naşit İĞCİ**

**Sayfa Adeti: 45**

**PARTIAL PURIFICATION of L-AMINO ACID OXIDASE ENZYME FROM  
THE VENOMS OF VIPERS *Montivipera wagneri* and *M. raddei***

**(MSc Thesis)**

**Meryem İrem DURĞUN**

**NEVŞEHİR HACI BEKTAS VELİ UNIVERSITY GRADUATE SCHOOL OF  
NATURAL AND APPLIED SCIENCE**

**July 2024**

**ABSTRACT**

L-amino acid oxidase (LAAO), a component of snake venom, is a flavoenzyme that catalyzes the oxidative deamination of L-amino acid to  $\alpha$ -keto acid, producing hydrogen peroxide ( $H_2O_2$ ). L-amino acid oxidase has a wide range of biological activities such as induction of apoptosis, platelet aggregation, hemorrhage, interference with hemostasis, edema formation, anti-tumor, anti-parasitic, anti-inflammatory, anti-microbial, anti-HIV, leishmanicidal and contribution to the toxicity. These activities have raised their potential to be used as therapeutic agents in some diseases such as cancer and AIDS.

In this thesis, partial purification of LAAO enzyme from *Montivipera wagneri* and *M. raddei* venoms was carried out. For this aim, fractionation was performed by gel filtration chromatography. The enzyme activities of each fraction were tested by spectrophotometric measurement using L-leucine as substrate and the fractions with the LAAO enzyme activity have been determined. In addition, the reduced and unreduced molecular weights of the proteins in the active fractions of each species were determined by the SDS-PAGE method.

As a result, it was determined that the venom of *M. wagneri* and *M. raddei* species contained LAAO enzyme with significant activity, and information about the structure and activity of the enzyme was obtained by partial purification. The present thesis is the first study carried out for this purpose. With this study, an important step has been taken for the biotechnological evaluation of the LAAO enzyme found in the venoms of *M. raddei* and the endemic species *M. wagneri* by its purification and characterization from these venoms.

**Keywords:** *Montivipera wagneri*, *Montivipera raddei*, *Snake venom*, *L-amino acid oxidase*, *Purification*

**Thesis Supervisor:** Assoc. Prof. Naşit İĞCI

**Page Number: 45**

## **İÇİNDEKİLER**

|                                                                                                         |      |
|---------------------------------------------------------------------------------------------------------|------|
| KABUL VE ONAY SAYFASI .....                                                                             | i    |
| TEZ BİLDİRİM SAYFASI .....                                                                              | ii   |
| TEŞEKKÜR .....                                                                                          | iii  |
| ÖZET .....                                                                                              | iv   |
| ABSTRACT .....                                                                                          | v    |
| TABLOLAR LİSTESİ .....                                                                                  | viii |
| ŞEKİLLER LİSTESİ .....                                                                                  | ix   |
| SİMGELER VE KISALTMALAR .....                                                                           | x    |
| 1. BÖLÜM .....                                                                                          | 1    |
| GİRİŞ .....                                                                                             | 1    |
| 1.1 Amaç ve Tez Kapsamı .....                                                                           | 2    |
| 2. BÖLÜM .....                                                                                          | 3    |
| KAYNAK ÖZETLERİ .....                                                                                   | 3    |
| 2.1 Yılan Zehirleri .....                                                                               | 3    |
| 2.2 Yılan Zehri L-Amino Asit Oksidazları .....                                                          | 4    |
| 2.2.1 Yapısal ve fizikokimyasal özellikler .....                                                        | 5    |
| 2.2.2 Antitümör etkileri .....                                                                          | 9    |
| 2.2.3 Platelet agregasyonu üzerindeki etkileri .....                                                    | 10   |
| 2.2.4 Bakterisidal etkileri .....                                                                       | 10   |
| 2.2.5 Antiviral aktiviteleri .....                                                                      | 11   |
| 2.2.6 Antilayışmanyaz aktiviteleri .....                                                                | 12   |
| 2.3 Montivipera wagneri (Vagner Engereği)'nin Taksonomisi, Biyoekolojik Özellikleri ve Dağılışı .....   | 13   |
| 2.4 Montivipera raddei (Radde Dağ Engereği)'nin Taksonomisi, Biyoekolojik Özellikleri ve Dağılışı ..... | 14   |

|       |                                                                                            |    |
|-------|--------------------------------------------------------------------------------------------|----|
| 2.5   | M. wagneri ve M. raddei Zehirleri ile İlgili Yapılmış Çalışmalar.....                      | 15 |
| 3.    | BÖLÜM.....                                                                                 | 18 |
|       | MATERYAL VE YÖNTEM .....                                                                   | 18 |
| 3.1   | Kullanılan Cihaz ve Materyaller .....                                                      | 18 |
| 3.2   | Kullanılan Kimyasal Maddeler .....                                                         | 19 |
| 3.3   | Zehir Örneklerinin Çalışmalar İçin Hazırlanması .....                                      | 20 |
| 3.4   | Protein Miktar Tayini .....                                                                | 21 |
| 3.5   | Yüksek Basınçlı Sıvı Kromatografisi (HPLC) ile Zehir Proteinlerinin Fraksiyonlanması ..... | 22 |
| 3.6   | L-Amino Asit Oksidaz Enzim Aktivite Tayini .....                                           | 22 |
| 3.7   | Sodyum Dodesil Sülfat Poliakrilamat Jel Elektroforezi (SDS-PAGE).....                      | 24 |
| 4.    | BÖLÜM.....                                                                                 | 26 |
|       | BULGULAR .....                                                                             | 26 |
| 4.1   | Ham Zehirlerin Protein Miktar Tayinleri .....                                              | 26 |
| 4.2   | M. wagneri ve M. raddei Ham Zehirlerinin HPLC ile Fraksiyonlanması.....                    | 27 |
| 4.3   | Fraksiyonların L-Amino Asit Oksidaz Aktivite Tayini .....                                  | 30 |
| 4.4   | SDS-PAGE Bulguları.....                                                                    | 32 |
| 4.4.1 | SDS-PAGE için fraksiyonlarda protein miktar tayini.....                                    | 32 |
| 4.4.2 | SDS-PAGE.....                                                                              | 33 |
| 5.    | BÖLÜM.....                                                                                 | 36 |
|       | SONUÇLAR VE ÖNERİLER .....                                                                 | 36 |
|       | KAYNAKLAR .....                                                                            | 39 |
|       | ÖZGEÇMIŞ .....                                                                             | 45 |

## TABLOLAR LİSTESİ

|                                                                                                                                               |    |
|-----------------------------------------------------------------------------------------------------------------------------------------------|----|
| Tablo 2.1. Çeşitli yılan zehirlerinden saflaştırılan LAAO enzimlerinin yapıları ve substrat spesifikliği .....                                | 7  |
| Tablo 3.1. Kullanılan cihaz ve kolonlara ait bilgiler.....                                                                                    | 18 |
| Tablo 3.2. Kullanılan kimyasallar .....                                                                                                       | 20 |
| Tablo 3.3. Bradford yönteminin uygulanmasında hazırlanan tüplerin içerikleri .....                                                            | 21 |
| Tablo 3.4. Metot optimizasyonunda kullanılan farklı tamponlar ve yükleme miktarları                                                           | 22 |
| Tablo 3.5. L-amino asit oksidaz enzim aktivite ölçümü için tüplerin hazırlanışı.....                                                          | 23 |
| Tablo 3.6. SDS-PAGE jellerinin hazırlanışı .....                                                                                              | 24 |
| Tablo 4.1. BSA standartlarının OD değerleri ve ortalamaları .....                                                                             | 26 |
| Tablo 4.2. <i>M. wagneri</i> ve <i>M. raddei</i> ham zehir OD değerleri ile hesaplanan konsantrasyon ve yüzde değerleri .....                 | 27 |
| Tablo 4.3. Fraksiyonların enzim aktiviteleri .....                                                                                            | 31 |
| Tablo 4.4. Aktif fraksiyonların protein miktar tayininde kullanılan BSA standartlarına ait OD değerleri.....                                  | 32 |
| Tablo 4.5. Fraksiyonların protein miktar tayini sonuçları .....                                                                               | 33 |
| Tablo 4.6. SDS-PAGE jel görüntüsüne göre 2. ve 6. kuyucuklara (indirgenmemiş fraksiyonlara) ait bantların yaklaşık moleküler ağırlıkları..... | 35 |
| Tablo 4.7. SDS-PAGE jel görüntüsüne göre 4. ve 8. kuyucuklara (indirgenmiş fraksiyonlara) ait bantların yaklaşık moleküler ağırlıkları.....   | 35 |

## ŞEKİLLER LİSTESİ

|                                                                                                                              |    |
|------------------------------------------------------------------------------------------------------------------------------|----|
| Şekil 2.1. LAAO reaksiyon mekanizması.....                                                                                   | 4  |
| Şekil 2.2. <i>Calloselesma rhodostoma</i> 'dan izole edilen LAAO'ın 3 boyutlu yapısı.....                                    | 6  |
| Şekil 2.3. <i>Montivipera wagneri</i> (Vagner Engereği) (Fotoğraf: Naşit İĞCİ) .....                                         | 14 |
| Şekil 2.4. <i>Montivipera raddei</i> (Radde Dağ Engereği) (Fotoğraf: Naşit İĞCİ) .....                                       | 15 |
| Şekil 4.1. BSA dilüsyonları ile oluşturulan standart eğri grafiği .....                                                      | 27 |
| Şekil 4.2. Deneme-1 0.1M PB + 0.1 M NaCl, 0.5 mL/dk akış hızı, 10 $\mu$ L enjeksiyon..                                       | 28 |
| Şekil 4.3. Deneme-2 0.1M PB, 0.5 mL/dk akış hızı, 10 $\mu$ L enjeksiyon .....                                                | 28 |
| Şekil 4.4. Deneme-3 0.1M PB + 0.1 M Na <sub>2</sub> SO <sub>4</sub> , 0.5 mL/dk akış hızı, 10 $\mu$ L enjeksiyon .....       | 28 |
| Şekil 4.5. Deneme-4 0.1M PB + 0.1M NaCl, 0.5 mL/dk akış hızı, 15 $\mu$ L enjeksiyon ...                                      | 28 |
| Şekil 4.6. Deneme-5 0.1M PB + 0.1 M Na <sub>2</sub> SO <sub>4</sub> , 0.7 mL/dk akış hızı, 10 $\mu$ L enjeksiyon .....       | 29 |
| Şekil 4.7. Deneme-6 0.1M PB + 0.05M Na <sub>2</sub> SO <sub>4</sub> , 0.5 mL/dk akış hızı, 10 $\mu$ L enjeksiyon .....       | 29 |
| Şekil 4.8. <i>M. wagneri</i> ham zehrinin fraksiyonlanması ait 280 nm dalga boyunda elde edilmiş kromatogram görüntüsü ..... | 29 |
| Şekil 4.9. <i>M. raddei</i> ham zehrinin fraksiyonlanması ait 280 nm dalga boyunda elde edilmiş kromatogram görüntüsü .....  | 30 |
| Şekil 4.10. LAAO enzim aktivitesi tayini .....                                                                               | 31 |
| Şekil 4.11. Aktif fraksiyonların protein miktar tayininde kullanılan BSA standartlarına ait kalibrasyon grafiği .....        | 33 |
| Şekil 4.12. Ham zehir ve fraksiyonların SDS-PAGE jel görüntüsü .....                                                         | 34 |

## SİMGELER VE KISALTMALAR

|                        |                                             |
|------------------------|---------------------------------------------|
| $\mu\text{g}$          | Mikrogram                                   |
| $\mu\text{L}$          | Mikrolitre                                  |
| $\mu\text{m}$          | Mikrometre                                  |
| 2D-PAGE                | İki boyutlu poliakrilamit jel elektroforezi |
| ADP                    | Adenozin difosfat                           |
| APS                    | Amonyum persülfat                           |
| BSA                    | Sığır serum albümini                        |
| $^{\circ}\text{C}$     | Santigrat derece                            |
| cm                     | Santimetre                                  |
| dk                     | Dakika                                      |
| DTT                    | Ditiyotreitol                               |
| FAD                    | Flavin adenin dinükleotid                   |
| FMN                    | Flavin mononükleotid                        |
| Fr                     | Fraksiyon                                   |
| $\text{H}_2\text{O}_2$ | Hidrojen peroksit                           |
| HPLC                   | Yüksek basınçlı sıvı kromatografisi         |
| HRP                    | Yaban turpu peroksidazı                     |
| kDa                    | Kilodalton                                  |
| LAAO                   | L-Amino asit oksidaz                        |

|          |                                                       |
|----------|-------------------------------------------------------|
| M        | Molar                                                 |
| mg       | Miligram                                              |
| mL       | Mililitre                                             |
| mm       | Milimetre                                             |
| mM       | Milimolar                                             |
| Mora     | <i>Montivipera raddei</i>                             |
| Mowa     | <i>Montivipera wagneri</i>                            |
| nm       | Nanometre                                             |
| OD       | Optik yoğunluk                                        |
| ORT      | Ortalama                                              |
| PB       | Fosfat tamponu                                        |
| pH       | Hidrojen potansiyeli                                  |
| pI       | İzoelektrik nokta                                     |
| PRP      | Plateletten zengin plazma                             |
| rpm      | Dakikadaki devir sayısı                               |
| SDS      | Sodyum dodesil sülfat                                 |
| SDS-PAGE | Sodyum dodesil sülfat poliakrilamat jel elektroforezi |
| SvLAAO   | Yılan zehri L-amino asit oksidaz enzimi               |
| TEMED    | Tetrametiletilendiamin                                |

|        |                         |
|--------|-------------------------|
| U      | Ünite                   |
| UV/VIS | Görülebilir ultraviyole |
| v/v    | Hacim/hacim             |
| w/v    | Ağırlık/hacim           |



## **1. BÖLÜM**

### **GİRİŞ**

Her yıl dünya çapında yaklaşık olarak 5 milyondan fazla insan yılın ısrığına maruz kalmaktadır. Bunun 2 milyondan fazlası zehirlenme vakasıdır ve yaklaşık 137.000'i ölümle sonuçlanmaktadır. Bunun yanı sıra her yıl giderek artan amputasyon ve diğer kalıcı hasarlar meydana gelmektedir (WHO 2024). Yılın ısrığı klinik belirtileri, toksisite derecesi ve zerk edilen zehrin miktarına bağlıdır. Yılın ısrığı sonucu birçok belirti ve semptom gelişir (felç, sistemik miyoliz, böbrek hasarı ve yetmezliği, kardiyotoksisite ve lokal doku hasarı) (Koh ve ark. 2006). Sonuç olarak dünya genelinde yılın zehirleriyle ilgili çalışmalar artmakta ve antiserumlar geliştirilmektedir. Bunun dışında, araştırmacılar yılın zehirlerinin etki mekanizmalarını araştırarak onların terapötik ve diyagnostik ajan olarak geliştirilmesi üzerine de çalışmalar yapmaktadır.

*Bothrops jararaca* zehrinden izole edilen brakidinin güçlendirici peptitten yola çıkışlı sınıfının ilk antihipertansif ilacı olarak anjiyotensin dönüştürücü enzim (ADE) inhibitörü kaptopril geliştirilmiştir (Averin ve Utkin 2021). *Echis carinatus* zehrinden izole edilen bir disintegrin olan echistatin molekülü modifiye edilerek, antiplatelet tedavisinde kullanılan öncü ilaç Tirofiban geliştirilmiştir (Lazarovici ve ark. 2019). Bir diğer antiplatelet ajan olarak geliştirilen disintegrin ailesi proteini barbourinden elde edilen, siklik peptit olan Eptifibatid (*Sistrurus miliarius barbouri* zehirinden), GBIIb/IIIa reseptörünün spesifik bir inhibitördür (Tonin ve Klen 2023).

Nitekim yılın zehirleri dışında diğer zehirli canlılara ait zehir bileşenlerinin de terapötik potansiyelleri olup sentetik olarak geliştirilip kullanılan örnekler mevcuttur. Ziconotide, *Conus magus* zehirinde bulunan  $\omega$ -konotoksin MVIIA'nın sentetiği olan, N tipi voltaja duyarlı kalsiyum kanallarını (Cav2.2) bloke eden 25 amino asitten oluşan bir peptit model alınarak geliştirilmiş olup, analjezik olarak kullanılmaktadır (Bordon ve ark. 2020; McGivern 2007) bunun yanı sıra koni salyangozunun zehrine ait bileşenler ile ilgili devam eden klinik çalışmalar mevcuttur. Gila canavarı *Heloderma suspectum* zehrinde bulunan exendin-4'ün sentetiği olan Exenatide, tip 2 diyabet tedavisinde kullanılan glukagon benzeri peptit-1 analogudur ve sonrasında modifiye edilip yarılanma ömrü uzatılarak Lixisenatide geliştirilmiştir ve tip 2 diyabette kullanılmaktadır (Bordon ve ark.

2020). Yılan zehirlerinin ve diğer zehirli hayvanlardan alınan zehirlerin terapötik olarak kullanıllarının yanı sıra tanı amaçlı, kozmetikte veya alternatif tedavi yöntemi olarak da kullanımları bulunmaktadır (Bordon ve ark. 2020).

### **1.1 Amaç ve Tez Kapsamı**

Yılan zehirlerinde bulunan protein sınıflarından biri de L-amino asit oksidaz (LAAO) enzimidir. Yılan zehirlerinde görece daha az miktarda bulunmakla birlikte önemli biyolojik aktiviteleri vardır. Bu tez çalışmasının amacı Türkiye'de yayılış gösteren *Montivipera raddei* ve endemik tür olan *Montivipera wagneri* engerek türlerine ait zehirlerden LAAO enziminin kısmi saflaştırmasını gerçekleştirmektir. Bu amaca uygun olarak tez kapsamında jel filtrasyon kromatografisi tekniğiyle fraksiyonlama yapılması, elde edilen fraksiyonlarda L-amino asit oksidaz enziminin aktivitesinin tespit edilerek aktif fraksiyonun belirlenmesi, bu fraksiyonun SDS-PAGE jel elektroforezi ile moleküller ağırlığının ve yapısının değerlendirilmesi gerçekleştirilmiştir. Sanz ve ark. (2008) ve Nalbantsoy ve ark. (2017)'nın yapmış oldukları çalışmada *M. raddei* zehrinde L-amino asit oksidaz enzimi tanımlanmıştır ancak tam olarak saflaştırılması gerçekleştirilmemiştir. Literatürde, *M. raddei* zehri ile ilgili kısıtlı da olsa birkaç çalışma bulunmakla birlikte *M. wagneri* zehrinin protein içeriği ile ilgili bir çalışma bulunmamaktadır. Bu tez çalışmasıyla *M. wagneri* ve *M. raddei* zehirlerinden LAAO saflaştırmasına yönelik bir çalışma gerçekleştirilmiş olup, elde edilen veriler bilimsel literatüre katkı sağlayacaktır ve enzimlerin biyolojik aktivitelerinin değerlendirileceği sonraki çalışmaları mümkün kılacaktır.

## **2. BÖLÜM**

### **KAYNAK ÖZETLERİ**

#### **2.1 Yılan Zehirleri**

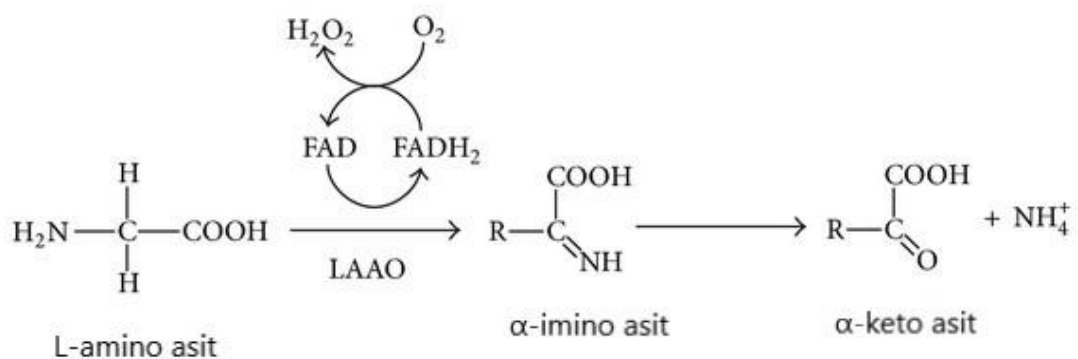
Araştırmacılar zehir bileşenlerinin özelliklerini gözlemlemeye yirminci yüzyılın ortalarından başlayarak terapötik potansiyellerini keşfedecek çalışmalar (enzimleri izole etme, aktivitelerini belirleme) yapmışlardır. Yılan zehirleri başlıca peptit ve proteinler olmak üzere birçok biyoaktif bileşene sahiptir ve bunun yanı sıra izoformlarını da barındırmaktadırlar. Proteinler ve izoformları arasında işlevsel olarak farklılık gözlemlenebilmektedir (Oliveira ve ark. 2022).

Yılan zehri bileşenleri türler arası değişkenlik gösterirken yaşa, cinsiyete ve besinlerine göre de farklılık gösterebilmektedir. Viperidae, Elapidae, Hydrophiidae ve Colubridae familyalarına ait türler zehirli olarak sınıflandırılmaktadır (Bocian ve Hus 2020). Elapid zehirleri genellikle nörotoksik, sitotoksik ve kardiyotoksik bulgulara yol açarken; engerekler tarafından ısırılma vakalarındaki bulgular ise miyotoksisite ve hemotoksisitedir (Oliveira ve ark. 2022). Yılan zehirleri temelde protein yapısındaki çeşitli bileşenlerin karışımından oluşur. Bu bileşenlerin başlıcaları metalloproteinazlar, serin proteinazlar, fosfolipaz A<sub>2</sub> (PLA<sub>2</sub>), L-amino asit oksidaz (LAAO), hyaluronidaz, fosfodiesteraz, kunitz tipi proteaz inhibitörleri, C-tipi lektin benzeri proteinler (CLP), disintegrinler, vasküler endotelyal (VEGF) ve sinir büyümeye faktörleri (NGF), vazoaktif peptitler, üç parmak toksinler (3Ftx) ve sistein bakımından zengin proteinler (CRISP), küçük organik bileşenler (karbonhidrat, serotonin, histamin, sitrat, nükleozit) ve inorganik iyonlardır (kalsiyum, kobalt, magnezyum, bakır, demir, potasyum) (Izidoro ve ark. 2014; Jafari ve ark. 2023). Bu bileşenler sinerjik olarak etki edebilmektedir (Oliveira ve ark. 2022). Yılan zehirleri proteinleri genel olarak iki gruba ayırlırlar: toksisiteye etkisi az olan proteinler ve farmakolojik etkileri iyi bilinen, toksisiteye asıl sebep olan toksinler. Enzimler genel olarak moleküller ağırlıkları yüksek olan proteinlerdir. Enzimlerin toksisiteye olan etkileri miktarı ve özellikle de zehrin zerk edildiği canlıdaki aktivite süresine bağlıdır. Yılan zehirlerinin sahip oldukları enzimler özellikleri bakımından farklılık göstermektedir. Genel olarak kan pihtlaşma mekanizmasını bozarak veya kompleman aktivasyonunu ile, doku ve hücrelerin parçalanması veya etkili oldukları

metabolizmayı hızlandırarak etki ederler. Viperidae familyası enzimler yönünden zengin zehirlere sahiplerdir. Yılan zehirlerinde bulunan protein ve peptitlerin sahip olduğu çok çeşitli farmakolojik özellikler önemli tıbbi uygulamalar ve ilaç geliştirme açısından değerlendirilmelerine olanak sağlar (Guo ve ark. 2012; Jafari ve ark. 2023). Bu aktivitelerden bazıları apoptoz indüksiyonu, trombosit agregasyonu inhibisyonu, hemoraji, hemostaz, ödem, antikoagülân/prokoagülân etki, antitümör, antiparazitik, antienflamatuar ve antimikrobiyal etkilerdir (Guo ve ark. 2012). Yılan ısırıği vakalarının patofiziyojisini bileşenlerin kombinasyonları ve oranı etkiler (Oliveira ve ark. 2022).

## 2.2 Yılan Zehri L-Amino Asit Oksidazları

Yılan zehirleri birçok hastalığın tedavisinde umut vadeden bileşenler içermektedir. Bu bileşenlerden biri de L-amino asit oksidaz (LAAO) enzimidir (Mukherjee ve ark. 2015). Yılan zehri L-amino asit oksidazları (svLAAO, E.C 1.4.3.2), diğer canlılardakine benzer şekilde bir L-amino asidi oksidatif stres yoluyla  $\alpha$ -keto aside ve amonyağa dönüştürken, yan ürün olarak hidrojen peroksit ( $H_2O_2$ ) oluşturur. LAAO yılan zehirlerinde diğer ana bileşenlere göre biraz daha düşük miktarda olmakla birlikte yaygın olarak bulunur ve toksisiteye etki etkileri bilinmemektedir (Ullah 2020).



Şekil 2.1. LAAO reaksiyon mekanizması (Izidoro ve ark. 2014)

Şekil 2.1'de görüldüğü gibi L-amino asit oksidaz indirgenme yarı reaksiyonunda substratı ortamdaki flavin adenin dinükleotit (FAD) aracılığıyla  $\alpha$ -imino aside, ardından  $\alpha$ -keto aside dönüştürür ve reaksiyon sonucunda amonyak oluşur. Ortamdaki FAD'ın indirgenmesi ile oluşan FADH<sub>2</sub> oksitlenerek H<sub>2</sub>O<sub>2</sub> üretir (Izidoro e ark. 2014).

1990'lardan önce svLAAO'lariyla ilgili reaksiyon mekanizması ve pH değişiklikleri veya donma ile inaktivasyon gibi enzimatik ve fizikokimyasal özellikleri üzerine odaklı çalışmalar mevcuttu ve genellikle amino asitlerin optik izomerlerinin tanımlanmasında ve  $\alpha$ -keto asitlerin hazırlanmasında kullanılmaktaydı. Gelişen teknoloji ile *in vitro* ve *in vivo* çalışmalar svLAAO'lari tıbbi ve farmakolojik özelliklerinin ortaya çıkarılarak, önemini anlaşılmamasını sağlamıştır (Guo ve ark. 2012; Izidoro ve ark. 2014; Rodrigues ve ark. 2009; Stábeli ve ark. 2004).

SvLAAO'lar;

- apoptozis indükleyici, platelet agregasyonunu inhibe edici veya indükleyici (Soares ve ark. 2020; Stábeli ve ark. 2007; Tõnismägi ve ark. 2006),
- antimikroiyal (Guo ve ark. 2012; Soares ve ark. 2020; Tõnismägi ve ark. 2006; Toyama ve ark. 2006),
- antilayşmanyaz (Barbosa ve ark. 2021; de Freitas ve ark. 2023),
- anti-HIV (Zhang ve ark. 2003)

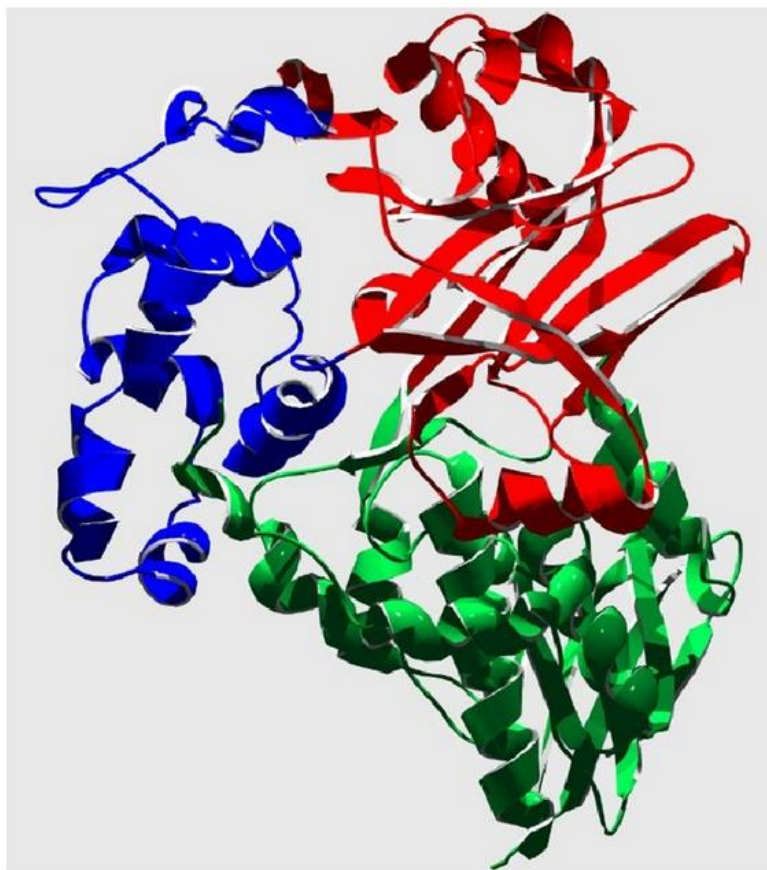
olmak üzere çeşitli biyolojik aktivite göstermektedirler. Yapılan çalışmalar ışığında LAAO'nun enzimatik olmayan yolla ürettiği H<sub>2</sub>O<sub>2</sub>'den kaynaklandığı düşünülen bu aktivitelerin, H<sub>2</sub>O<sub>2</sub> tutucu katalazın ortama eklendiğinde inhibe edilmesi bu görüşü desteklemektedir (Zhang ve ark. 2003).

### **2.2.1 Yapısal ve fizikokimyasal özellikleri**

Yılan zehri LAAO enzimleri yapısal olarak üç farklı domainden oluşur: FAD bağlanma bölgesi, substrat bağlanma bölgesi ve sarmal alan (Ullah 2020). SvLAAO'lari insan monoamin oksidaz, bakteri ve mantar LAAO'lari FAD bağlanma bölgesinde sekans benzerliği göstermektedir (Jin ve ark. 2007) ve bu proteinler fare interlökin 4 ile indüklenen Fig1 proteini ile %30'dan fazla benzerlik paylaşmaktadır (Zhang ve ark.

2003). Viperidae, Crotalidae ve Elapidae türlerine ait zehirlerde genellikle FAD veya flavin mononükleotit (FMN) bağlayıcı glikoproteinler bakımından zengindirler. Yılan zehirlerinin sarı renkte olmasından sorumlu olan bu enzim ürettiği H<sub>2</sub>O<sub>2</sub>'den oluşan oksidatif stres yoluyla ısırılma sonrası venomik toksisiteye (envenomasyon) katkıda bulunur (Guo ve ark. 2012). LAAO'lar hidrofobik ve aromatik amino asitlere karşı katalitik özgüllük gösterirler. Optimum pH, sıcaklık, moleküler ağırlıkları, yapıları ve izoelektrik noktaları farklı türlerde oldukça değişkendir (Izidoro ve ark. 2014).

LAAO'ların aktivitesi pH, sıcaklık, şelatlama ajanları ve inhibitörler gibi koşullara bağlı olarak değişkenlik göstermektedir. Yüksek veya düşük sıcaklıklarda inaktive olup uygun koşullar sağlandığında tekrar aktif olabilirler (Tan ve ark. 2018).



Şekil 2.2. Calloselesma rhodostoma'dan izole edilen LAAO'ın 3 boyutlu yapısı.  $\alpha$ -helikal domain (mavi renk), FAD bağlayıcı domain (yeşil renk), substrat bağlayıcı domain (kırmızı renk) (Izidoro ve ark. 2014)

Tablo 2.1.'de görüldüğü üzere çeşitli yılan türlerinden izole edilen LAAO'lar çoğunlukta homodimer yapıdadırlar. Enzim doğal formda 100-140 kDa, alt birimlerine ayrılmış formları veya monomerik yapıda (Rey-Suárez vd., 2018; Wei vd., 2009; More vd., 2010; Jin vd., 2007) olanlar ise 50-70 kDa ağırlığında gözükmeektedir. Önceki literatür bilgisine göre hazırlanmış tablodaki verilere bakarak LAAO'ların hidrofobik ve aromatik amino asitlere seçicilik gösterdiği söylenebilir.

Tablo 2.1. Çeşitli yılan zehirlerinden saflaştırılan LAAO enzimlerinin yapıları ve substrat spesifikliği

| Yılan Türü                 | Enzim Adı   | Moleküler Ağrlık ve Multimerik Yapı                                  | Multimerik Yapı | pI    | Substrat Spesifikliği                    | Kaynak                 |
|----------------------------|-------------|----------------------------------------------------------------------|-----------------|-------|------------------------------------------|------------------------|
| <i>Bothrops alternatus</i> | Balt-LAAO-I | 123 kDa (jel filtrasyon), 66 kDa (SDS-PAGE)                          | Homodimer       | ~5.37 | L-Phe, L-Tyr, L-Met, L-Leu               | (Stábeli ve ark. 2004) |
| <i>Agkistrodon acutus</i>  | ACTX-6      | 49-97 kDa (SDS-PAGE), 100 kDa (boyut dışarılama), 96 kDa (MALDI-TOF) | Homodimer       | -     | L-Met, L-Leu, L-Trp, L-Phe, L-Arg        | (Zhang ve ark. 2008)   |
| <i>Bothrops moojeni</i>    | BmooLAAO-I  | 130-64 kDa (kütle spektrometresi)<br>66 kDa (SDS-PAGE)               | Homodimer       | -     | L-Phe, L-Try, L-Trp, L-Leu               | (Stábeli ve ark. 2007) |
| <i>Ophiophagus hannah</i>  | Oh-LAAO     | 64-67 kDa (SDS-PAGE)                                                 | Monomer         | -     | L-Met, L-Leu, L-His, L-Lys, L-Ile        | (Jin ve ark. 2007)     |
| <i>Bungarus caeruleus</i>  | LAO         | 55+-1 kDa (SDS-PAGE)                                                 | Monomer         | -     | L-Leu, L-Met, L-Glu, L-Ile, L-Phe, L-Arg | (More ve ark. 2010)    |
| <i>Bungarus fasciatus</i>  | BF-LAAO     | 55 kDa (SDS-PAGE)                                                    | Monomer         | -     | L-Tyr, L-Asp, L-Phe, L-Glu, L-Trp        | (Wei ve ark. 2009)     |

Tablo 2.1. Devamı

|                                        |              |                                                           |           |           |                                          |                           |
|----------------------------------------|--------------|-----------------------------------------------------------|-----------|-----------|------------------------------------------|---------------------------|
| <i>B. pauloensis</i>                   | Bp-LAAO      | 65 kDa (SDS-PAGE)                                         | Homodimer | 6.3       | L-Met, L-Leu, L-Phe                      | (Rodrigues ve ark. 2009)  |
| <i>Vipera berus berus</i>              | LAAO         | 59 kDa (SDS-PAGE), 126 kDa (jel filtrasyon)               | Homodimer | ~4.8      | L-Met, L-Leu, L-Phe, L-Ile, L-Arg, L-His | (Samel ve ark. 2006)      |
| <i>Crotalus durissus collilineatus</i> | CollinLAAO-I | 63.1 kDa (SDS-PAGE, indirgenmiş)                          | -         | -         | L-Leu, L-Arg                             | (Freitas ve ark. 2023)    |
| <i>Vipera lebetina</i>                 | LAAO         | 66 kDa (SDS-PAGE), 140 kDa (boyut dışarılama)             | Homodimer | -         | L-Met, L-Trp, L-Leu                      | (Tönlismägi ve ark. 2006) |
| <i>Micrurus lemniscatus</i>            | ML-LAAO      | 70 kDa (SDS-PAGE)                                         | Homodimer | ~6.3-8.9  | L-Tyr, L-Trp, L-Leu, L-Phe, L-Met, L-Thr | (Soares ve ark. 2020)     |
| <i>Crotalus durissus cascavella</i>    | Casca LAO    | 115-125 kDa (moleküller dışarılama HPLC) 68 kDa (2D-PAGE) | Homodimer | 5.4       | L-Asp L-Glu                              | (Toyama ve ark. 2006)     |
| <i>Calloselasma rhodostoma</i>         | MPV-LAAO     | 132 kDa (jel filtrasyon), 66 kDa SDS-PAGE                 | Homodimer | 4.4       | L-Phe, L-Try, L-Leu                      | (Ponnudurai ve ark. 1994) |
| <i>Micrurus mipartitus</i>             | MipLAAO      | ~57 kDa                                                   | Monomer   | 8.85-8.93 | L-Trp, L-Tyr, L-Leu                      | (Rey-Suárez ve ark. 2018) |

## 2.2.2 Antitümör etkileri

Apoptoz, yani programlanmış hücre ölümü, hücrelerin gelişimi sürecinde rol alan fizyolojik bir süreçtir. Geri dönüşümü olmayan hasarlı hücrelerin yok edilmesini sağlayan mekanizmadır. Bu mekanizma içsel ve dışsal yolaklarla gerçekleşir ve kaspazlar tarafından aktive edilir (Tavares ve ark. 2016). Literatürdeki bilgiler ışığında svLAAO'ların bu aktiviteyi tetikleyerek kanser hücreleri üzerinde ölümcül etki sağladığını görmektedir. Apoptozun indüklenmesi ve anjiyogenezin inhibisyonu yoluyla memeli kanser hücrelerinin büyümeyi抑制 eden LAAO'lar, yılan zehirinin iyi çalışılmış, önemli bir bileşenidir ve antikanser ilaç geliştirme için öncü bir bileşik olarak potansiyelini göstermektedir (Mukherjee ve ark. 2015). *Vipera berus berus* türünden izole edilen LAAO'nun insan epitelyoid karsinom (HeLa) ve insan kronik miyeloid lösemi (K562) hücrelerinde düşük konsantrasyonlarda apoptozu indüklediği; yüksek konsantrasyonlarda ise nekrozu indüklediği rapor edilmiştir (Samel ve ark. 2006). *Ophiophagus hannah* türünden saflaştırılan Oh-LAAO için yapılan sitotoksite çalışmاسında, insan kanser hücre hatları (MCF-7, A549) üzerinde etkisinin yüksek olduğu; kontrol gruplarında ise (NL-20 ve 184B5 karşılık gelen kanser olmayan hücre hatları) etkisinin doza ve zamana bağlı olarak az olduğunu, apoptozu indüklediği rapor edilmiştir (Li Lee ve ark. 2014). Bir başka çalışmada *Calloselasma rhodostoma* zehrinden izole edilen LAAO'nun (CR-LAAO), HL-60 (insan promiyelositik lösemi) ve HepG2 (insan karaciğer karsinomu) tümör hücre hatları üzerinde 24 saatlik uygulamadan sonra apoptozu indüklediği gözlemlenmiştir. Ayrıca HL-60 ve HepG2 hücre hatlarında apoptozun içsel ve dışsal yolakların aktive edilmesiyle gerçekleştiği, HepG2 hücrelerinde içsel yolağın aktivasyonunun daha belirgin olduğu bildirilmiştir (Costa ve ark. 2017). *Crotalus adamanteus* zehri LAAO'sunun insan yumurtalık kanseri hücre hatları (CAOV3 ve OCVAR3) üzerinde zamana ve doza bağlı olarak sitotoksik etkisinin arttığı, enzimin farklı konsantrasyonlarında CAOV3 ve OCVAR3 kanser hücrelerinde hücre canlılığının doza bağlı olarak azaldığı bildirilmiştir. *Crotalus adamanteus* LAAO enziminin *in vivo* antitümör etkisi immünokompetan dişi fareler üzerinde araştırılmış olup enzimin farklı konsantrasyonları ile tedavi edilen yumurtalık kanseri taşıyan farelerde kontrol grubuna kıyasla (tümör taşıyan enzim ile tedavi edilmemiş) ince bağırsak yüzeyindeki veziküler şişliklerin azlığı veya ortadan kalktığını rapor etmişlerdir (Xiong ve ark. 2022). Bunlara

benzer diğer çalışmalarda da genel olarak svLAAO'ların anti-kanser etkileri olduğu ortaya koyulmuştur.

### **2.2.3 Platelet agregasyonu üzerindeki etkileri**

Yılan zehirlerinden saflaştırılan LAAO'ların platelet agregasyonu üzerinde de etki etiği yapılan çalışmalar ile ortaya koyulmuştur. Örneğin; *Crotalus durissus cascavella* alt türünden izole edilen LAAO enziminin platelet agregasyonunu indüklediği, enzimin katalaz ile inkübe edildikten sonra aktivitenin sonlandığı rapor edilmiştir (Toyama ve ark. 2006). *Bothrops alternatus* zehrinden saflaştırılmış olan ve Balt-LAAO-I olarak isimlendirilen enzimin platelet agregasyonunu doza bağlı olarak indüklediği bildirilmiştir (Stábeli ve ark. 2004). Jin ve ark. (2007) tarafından yapılan çalışmada *O. hannah* zehrinden LAAO (Oh-LAAO) izole edilip trombosit agregasyonu inhibe veya indükleme etkisi kontrol edildiğinde adenozin difosfat (ADP) tarafından indüklenen trombosit agregasyonunu ve tromboksan A<sub>2</sub> mimetiği olan U46619 tarafından indüklenen trombosit agregasyonunu inhibe ettiğini rapor etmişlerdir. *Bungarus caeruleus* LAAO enzimi plateetten zengin plazma (PRP) ile pre-inkübasyona bırakılıp ardından ADP tarafından indüklenen trombosit agregasyonu ile etkileştirildiğinde aktiviteyi inhibe ettiği bildirilmiştir (More ve ark. 2010). *Vipera berus berus* zehrinden izole edilen LAAO enzimi normal PRP ile ön inkübasyona bırakıldıktan sonra ADP ile indüklenen trombosit agregasyonunu doza bağlı olarak inhibe ettiği rapor edilmiştir (Samel ve ark. 2006). LAAO'nun trombosit agregasyonu aktivitesinin bu çalışmaların hepsinde katalaz ile inhibe edildiği rapor edilmiştir ve aktivitede H<sub>2</sub>O<sub>2</sub>'nin bu süreçteki rolüne işaret etmektedir.

### **2.2.4 Bakterisidal etkileri**

Bakterilerin antibiyotiklere direnç göstermesi, günümüzün önemli problemlerinden biridir. Bu sorun bakteriyel enfeksiyon kaynaklı ölüm nedenlerinin başında gelmektedir ve küresel olarak insan sağlığını etkileyen tehditlerden biri olarak görülmektedir (Bocian ve Hus 2020). Yılan zehri LAAO'ları antimikrobiyal özellikleriyle bu konuda ön plana çıkmaktadır ve yapılmış bazı önemli çalışmalara aşağıda dephinilmiştir.

Balt-LAAO-I Gram pozitif (*S. aureus*) ve Gram negatif (*E. coli*) bakterileri üzerinde antibakteriyel etki göstermiştir (Stábeli ve ark. 2004). *Micrurus lemniscatus*'tan izole edilen LAAO (ML-LAAO) ile Gram pozitif (*S. aureus*) ve Gram negatif (*E. faecalis*, *E. coli*, *P. aeruginos*) suşları üzerinde yapılan çalışmada Gram pozitif bakteri suşunda daha etkili olduğu ve antibakteriyel etki gösterdiği bildirilmiştir (Soares ve ark. 2020). Toyama ve ark. (2006)'nın raporuna göre CascaLAAO Gram pozitif (*Staphylococcus mutans*) suşlara karşı daha etkili bir aktivite sergilemiştir. Yapılan bir başka çalışmada ise *Bothrops jararacacussu* ve *B. jararaca* zehirleri önce *S. aureus* suşlarında test edilerek bakterisidal aktivitesi belirlenmiş ardından bu iki zehir çeşitli Gram negatif ve Gram pozitif bakteri suşlarına karşı incelenmiştir. Çalışma zehirlerin bu bakteriler üzerinde büyümeyi engellediğini göstermiştir (*E. faecalis* ve *E. coli*'nin zehirlere karşı dirençli olduğu bildirilmiştir). Bu sonuçlar ışığında *B. jararaca* zehrinin fraksiyonlaması yapılarak anti-*S. aureus* aktivitesinin LAAO enziminden kaynaklandığı tespit edilmiştir ve katalaz ile aktivite inhibe edilmiştir. (Ciscotto ve ark. 2009).

### 2.2.5 Antiviral aktiviteleri

SvLAAO'ların ilk antiviral aktivite raporu *Trimeresurus stejnegeri* (Çin yeşil ağaç engereği) zehrinden izole edilen ve TRV-LAO olarak isimlendirilen enzim ile bildirilmiştir. Bu çalışmada TSV-LAO'nun HIV-1 enfektivitesi üzerinde sinsityum oluşumuna olan etkisi araştırılmış olup, enzimin doza bağlı olarak sinsityum oluşumunu inhibe ettiği bildirilmiştir. Katalaz varlığında bu aktivite tam olarak engellenmemiştir ancak 5 kat düştüğü bildirilmiştir (Zhang ve ark. 2003). *Bothrops jararaca* zehrinden izole edilen LAAO (BjarLAAO-I), Dengue virüsü tip 3 (DENV-3) ile enfekte edilen hücreler, BjarLAAO-I ile muamele edildikten sonra kontrol grubuna kıyasla viral titrede azalma gösterdiği bildirilmiştir (Sant'Ana ve ark. 2008).

Bu çalışmalara bakıldığından svLAAO'ların antiviral potansiyeli olabileceği de görülmektedir.

## **2.2.6 Antilayşmanyaz aktiviteleri**

*Leishmania* cinsine ait hücre içi parazitlerinin sebep olduğu layşmanyaz (*Leishmaniasis*), visseral, kutanöz ve mukokütanöz klinik formlarında hastalık oluşturur ve hastalığın en şiddetli formu mukokütanöz, *L. braziliensis* türü tarafından oluşur. *Leishmaniasis*, tropikal ve subtropikal ülkelerde ihmäl edilen endemik bir hastalıktır. Bu hastalığın tedavisinde kullanılan çeşitli ilaçlar mevcuttur fakat ilaçlar toksik ve hastalarda yan etkilere sebep olmaktadır (Barbosa ve ark. 2021). Daha az toksik ve doğal ürünlerin geliştirilmesi ve ilaç olabilme potansiyeline sahip bileşenlerin araştırılması önem arz etmektedir. SvLAAO'ların bu potansiyeli yapılan çalışmalarla birlikte ortaya konulmuştur. Bu konuda yapılmış bazı çalışmalara aşağıda değinilmiştir.

*Micrurus lemniscatus* ML-LAAO'nun *L. chagasi* ve *L. amazonensis* promastigotlarında doza bağlı olarak parazitlerin ölümünü indüklediği ve *L. chagasi* türünde daha etkili olduğu bildirilmiştir (Soares ve ark. 2020). Barbosa ve ark. (2021), *Bothrops jararacussu* (BjussuLAAO-II) ve *B. moojeni* (BmooLAAO-II) türlerinin zehirlerinden izole ettikleri LAAO'ları *L. amazonensis* ve *L. braziliensis* türlerinin promastigot formaları üzerinde test ederek BmooLAAO-II her iki parazit türünde de %70'den fazlasını öldürdü; BjussuLAAO-II *L. amazonensis* promastigot formlarında %70'inden fazlasının, *L. braziliensis* promastigot formlarında ise daha fazla etki göstererek %90 kadar canlı promastigot formlarının ölümüne neden olduğu bildirilmiştir ve katalaz bu aktiviteyi tamamen durdurarak aktivitenin H<sub>2</sub>O<sub>2</sub> tarafından gerçekleştirildiğini göstermiştir. Ayrıca bu toksinlerin her iki *Leishmania* türleri üzerinde hücre büyümeye olan etkileri araştırılarak antiproliferatif etki ortaya konulmuştur ve türlerin toksinlerle muamelesinden 24 saat sonrasında hücre çoğalmasını tamamen baskıladığı bildirilmiştir (Barbosa ve ark. 2021). Burada yapılan çalışmalarda katalaz ile oluşan aktivitenin durdurulduğu ve H<sub>2</sub>O<sub>2</sub>'in aktivitedeki rolü gösterilmiştir.

## **2.3 *Montivipera wagneri* (Vagner Engereği)'nin Taksonomisi, Biyoekolojik Özellikleri ve Dağılışı**

Türkiye'ye özgü endemik bir dağ engereği olan *Montivipera wagneri* (Nilson & Andrén, 1984), Türkiye'nin doğusunda dağılım göstermektedir ve Kars, Ağrı, Muş, Erzurum, Bingöl, Elazığ ve Tunceli illerinde lokaliteleri bildirilmiştir (Mebert ve ark. 2020). Uzunlukları 90 cm kadar olabilen, boyunları ince, göz bebeği dikey, başın üst kısmında bulunan pullar küçük pullar da dahil olmakla birlikte sırt bölgesindeki pullar da karinalıdır. Sırt bölgesi kahverengi bej veya gri renkte olup sırttaki zikzak şeklinde düzenlenen lekelerin kenarları koyu, iç kısımları kırmızımsı veya sarımsı kahverengine sahip olabilmektedir. Desenler ayrı veya bitişik, kuyruğa doğru bant yapısı, başın yanlarında koyu şeritler ve gövde yanlarında ise leke sıraları görülmektedir. Karın bölgesi ise açık gri ve dağınık koyu desenleri vardır. Endemik tür olan *M. wagneri* seyrek bitkili, taşlı ve kayalı dağ yamaçlarında yaşar ve bu bölgelerdeki akarsulara yakın yerlerde görülürler. Kemirici, kertenkele ve kuşlarla beslenirler.

Uluslararası evcil hayvan ticareti için toplanması, baraj yapımı vb. nedenlerle habitat kaybı gibi faktörler popülasyonunda önemli düşüslere sebep olduğundan Dünya Doğayı ve Doğal Kaynakları Koruma Birliği (IUCN) tarafından Kritik Tehlike Altında (CR) olarak listelenmiştir (IUCN 2024a). Türün taksonomik gruplandırması aşağıda yazılmıştır.

Alem: Animalia

Şube: Chordata

Sınıf: Reptilia

Takım: Squamata

Aile: Viperidae

Alt aile: Viperinae

Cins *Montivipera*

Tür: *Montivipera wagneri* (Nilson & Andrén, 1984)



Şekil 2.3. *Montivipera wagneri* (Vagner Engereği) (Fotoğraf: Naşit İĞCİ)

## 2.4 *Montivipera raddei* (Radde Dağ Engereği)'nin Taksonomisi, Biyoekolojik Özellikleri ve Dağılışı

*Montivipera raddei* (Boettger, 1890) (Radde dağ engereği), Türkiye, İran, Ermenistan, Azerbaycan ve muhtemel Irak'ta bulunur. Türkiye'de Kars, Ağrı, İğdır, Van, Hakkari illerinden bilinmektedir. İlk olarak Boettger tarafından 1890 yılında Tuzluca, İğdır'dan toplanan numunelere dayanılarak tanımlanmıştır. Uzunlukları 60-80 cm arasında değişmektedir (100 cm kadar olabilir) ve nispeten kalın yapılı olup boynu incedir. Vücutun sırt tarafı grimsi kahverengi olup üzerinde turuncumsu zikzak bant veya köşeli lekeler bulunur. Dağlık bölgelere adapte olmuş bir türdür, daha çok ormansız taşlık kısımlarda bulunur. *M. raddei*'nin doğadaki biyolojileri hakkında geniş bir bilgi yoktur. Avları başlıca küçük kemirgenler olmak üzere, kertenkele ve küçük kuşlarla da beslenebilirler. Yavrularını canlı olarak doğurur. *Montivipera raddei* 2008 yılında IUCN Tehdit Altındaki Türlerin Kırmızı Listesi için değerlendirilmiş olup Tehdide Yakın (NT) olarak listelenmiştir (IUCN 2024b). Türün taksonomik gruplandırması aşağıdaki gibidir.

Alem: Animalia

Şube: Chordata

Sınıf: Reptilia

Takım: Squamata

Aile: Viperidae

Alt aile: Viperinae

Cins: *Montivipera*

Tür: *Montivipera raddei* (Boettger,  
1890)



Şekil 2.4. *Montivipera raddei* (Radde Dağ Engereği) (Fotoğraf: Naşit İĞÇİ)

## 2.5 *M. wagneri* ve *M. raddei* Zehirleri ile İlgili Yapılmış Çalışmalar

*M. wagneri* türünün zehri ile yapılmış çalışmalar çok kısıtlıdır. Göçmen ve ark. (2008)'in yapmış oldukları Türkiye'de bulunan colubrid, viperid ve elapid türlerine ait yılanların zehir proteinlerinin elektroforetik profillerini belirleyerek taksonların filogenileriyle ilişkisini değerlendirdikleri çalışmada, *M. wagneri* türüyle ilgili bilgilere de ulaşılabilmektedir. *M. wagneri*'nin (10 bant) diğer yedi viperid türüne ait (*Vipera kaznakovi*, *Macrovipera lebetinus*, *Vipera ammodytes*, *Vipera (renardi) eriwanensis*,

*Vipera (berus) barani* ve *Montivipera xanthina*; 12-14 bant) yılan zehirlerine kıyasla en az proteine sahip olduğu ve bu türler arasında niteliksel farklılıklar olduğunu bildirmiştirlerdir.

Nalbantsoy ve ark. (2016), *M. wagneri* ham zehrinin kanser hücreleri üzerindeki sitotoksik etkisini gösteren çalışmalarında, zehrin A549 (insan akciğer adenokarsinomu), HeLa (insan kolorektal adenokarsinomu), U87MG (insan glioblastoma astrositomu), PC-3 (insan prostat adenokarsinomu), Mpanc96 (insan pankreas adenokarsinomu) ve MCF-7 (insan meme adenokarsinomu) kanser hücrelerinde anti-proliferatif aktivite sergilediğini rapor etmişlerdir.

*M. wagneri* ve *M. raddei* türlerine ait zehirler ile yapılmış bir başka çalışma zehirlerin güçlü antikoagulan etki gösterdiğini ve bu etkinin FXa'nın inhibe edilmesiyle gerçekleştiğini bildirmiştir (Chowdhury ve ark. 2021).

*M. raddei* zehrinin proteomik analizi Nalbantsoy ve ark. (2017) tarafından rapor edilmiştir ve çalışmalarının sonucunda PLA<sub>2</sub>, VEGF-F, CRISP, serin proteaz (SVSP), metalloproteinaz tanımlanmıştır ancak LAAO tanımlanmamıştır. Bu çalışmada ayrıca *M. raddei* ham zehrinin ve fraksiyonlarının CaCo-2, MCF-7, U87MG, HeLa, MPanc-96, A549 ve PC3 kanser hücre hatları üzerinde sitotoksik etkisine de bakılmıştır. Kanser hücre hatlarının ham zehir ile 48 saat inkübasyonunun ardından hesaplanan IC<sub>50</sub> değerlerine göre *M. raddei* ham zehrinin en yüksek sitotoksik aktiviteyi CaCo-2 hücre hattı üzerinde sergilediği, onu takiben U87MG hücre hattının etkilendiği rapor edilmiştir.

Sanz ve ark. (2008), *M. raddei* zehrinin proteomik karakterizasyon amacıyla fraksiyonlanması, SDS-PAGE ile ayrılmış protein bantlarından seçilen peptit iyonlarının kütle spektrometresi ve N-terminal sekanslaması ile protein tanımlamalarını gerçekleştirmiştir ve LAAO enziminin varlığını göstermiştir. Yaptıkları çalışma sonucu *M. raddei* LAAO enzimi indirgenmiş ve indirgenmemiş SDS-PAGE jelinde yaklaşık 56 kDa ağırlığındaki banttan tanımlanmıştır.

Kurtovic ve ark. (2014) yapmış oldukları çalışmada *M. raddei* zehrinin fare ve sincanlarda letal ve hemorajik aktivitesini test ederek zehrin öldürücü toksisite ve güçlü hemorajik aktivite gösterdiğini bildirmişlerdir. Ayrıca Zagreb antiserumunun *M. raddei* üzerindeki etkisini ölçerek zehrin öldürülüğünü güçlü bir şekilde ortadan kaldırdığını rapor etmişlerdir. Zagreb antiserumunun *M. raddei* zehrinin hemorajik aktivitesini nötralize etme potansiyeline sincanlar üzerinde bakılan bu çalışmada *V. a. ammodytes* zehrine kıyasla daha düşük derecede de olsa nötralizasyon potansiyeli sergilediğini bildirmişlerdir. *In vitro* nötralizasyon deneylerinde ise *M. raddei* zehrinin azokazein üzerindeki proteolitik aktivitesinin Pefabloc (serin proteaz inhibitörü) ve Na<sub>2</sub>EDTA (Zn<sup>2+</sup> bağımlı metalloproteinaz inhibitörü) tarafından inhibe edici etkisi araştırılarak, Pefabloc molekülünün bir etkisinin olmadığı, Na<sub>2</sub>EDTA molekülünün tek başına ya da Pefabloc ile birlikte azokazein üzerindeki aktivitenin tamamen inhibe edildiği bildirilmiştir. Bu bulgu sonucunda *M. raddei* zehrinin azokazeinolitik aktivitesinin metalloproteinazlar tarafından gerçekleşmiş olabileceğini rapor etmişlerdir (Kurtović ve ark. 2014).

*M. raddei* ile yapılmış olan bir diğer çalışmada ise (*in vitro*) K<sup>+</sup> iyonları ortamında sincanların beyin lipitlerinden elde edilen lipit çift katmanlı membranların (BLM) elektrik iletkenliği üzerindeki etkisi araştırılmıştır. Bu araştırma sonucunda *M. raddei* zehrinin önemli aktivite sergilediği ve membran-peptit etkileşimi sırasında yüzey aktivite gösterdiği bildirilmiştir. Araştırmacıların yapmış olduğu *in vivo* deneyler için *M. raddei* zehrinin kısa süreli kas içi enjeksiyonunun ardından sincanların karaciğer, kalp, beyin ve kas dokularından elde edilen doğal lipit karışımının çözeltilerinden BLM'ler hazırlanmıştır. Zehrin organizmada bulunması, karaciğer ve kaz lipitlerinden elde edilen BLM'lerin elektrik direncinin yaklaşık bir sıra ile artmasına yol açarken, beyin lipitlerinden elde edilen BML'erde kontrole kıyasla önemli farklılıklar elde edilmediği bildirilmiştir (Ayvazyan ve ark. 2012).

### **3. BÖLÜM**

#### **MATERİYAL VE YÖNTEM**

##### **3.1 Kullanılan Cihaz ve Materyaller**

Tez çalışmalarının gerçeklestirebilmesi için Nevşehir Hacı Bektaş Veli Üniversitesi Moleküler Biyoloji ve Genetik Bölümü laboratuvarlarından ve yüksek basınçlı sıvı kromatografisi kullanımı için Bilim ve Teknoloji Uygulama ve Araştırma Merkezi imkanlarından faydalanyılmıştır. Kullanılan cihazlar Tablo 3.1.'de verilmektedir.

Tablo 3.1. Kullanılan cihaz ve kolonlara ait bilgiler

| Cihaz Adı                             | Markası           | Kullanım Amacı                                                                                                                                               |
|---------------------------------------|-------------------|--------------------------------------------------------------------------------------------------------------------------------------------------------------|
| <b>Spektrofotometre</b>               | PG Instruments    | Deneyselde kullanılan örneklerin protein miktar tayini ve enzim aktivitesi tayini                                                                            |
| <b>HPLC</b>                           | Agilent           | Çalışma için kullanılan zehir örneği bileşenlerinin moleküller ağırlıklarına göre ayrimında                                                                  |
| <b>Koruyucu (Guard) kolon</b>         | TSK-Gel SW, Tosoh | Partiküllerin ana kolona girmesini önlemek ve sabit fazda yüksek afinitesi olan kimyasal kirleticileri yakalamak, filtre görevi                              |
| <b>Jel filtrasyon ayırmaya kolonu</b> | TSK-Gel SW, Tosoh | Mobil faz içerisindeki bileşenlerin sabit faz üzerinde moleküller boyutlarına göre farklı zamanlarda çıkışını sağlayarak bileşenlerin birbirinden ayırılması |
| <b>Elektroforez cihazı</b>            | Bio-Rad           | Sodyum dodesil sülfat poliakrilamat jel elektroforezinde örneklerin moleküller ağırlıklarına göre ayrimının gerçekleştirilmesi                               |

Tablo 3.1 Devamı

|                              |                   |                                                                   |
|------------------------------|-------------------|-------------------------------------------------------------------|
| <b>-20°C/+4°C Buzdolabı</b>  | Arçelik           | Deneylede kullanılacak örnek, reaktif ve solüsyonların saklanması |
| <b>-80°C Dondurucu</b>       | Thermo Scientific | Deneylede kullanılan örneklerin saklanması                        |
| <b>Hassas terazi</b>         | Bel Engineering   | Deneylede kullanılan kimyasalların tartımı                        |
| <b>Manyetik karıştırıcı</b>  | Shin Saeng        | Deneylede kullanılan çözeltilerin hazırlanması                    |
| <b>pH metre</b>              | Hanna             | Deneylede kullanılan çözeltilerin pH değerinin ölçülmesi          |
| <b>Çalkalayıcı</b>           | Biosan            | Jellerin yıkaması ve boyanması                                    |
| <b>Mini santrifüj cihazı</b> | Fisherbrand       | Deneylede kullanılan örneklerin filtrasyonu                       |
| <b>Vorteks</b>               | Biosan            | Deneylede kullanılan kimyasalların karıştırılması                 |
| <b>Ultra saf su cihazı</b>   | MP Minipure       | Çalışmalarda kullanılan saf su eldesi                             |
| <b>Vakumlu filtre cihazı</b> | Isolab            | Çalışmalarda kullanılan su ve çözeltilerin filtre edilmesi        |

### 3.2 Kullanılan Kimyasal Maddeler

Kullanılan kimyasallar moleküler biyoloji çalışmaları için kullanıma uygundur ve Tablo 3.2.'de liste şeklinde verilmiştir.

Tablo 3.2. Kullanılan kimyasallar

| Kimyasal Adı                            | Firma         |
|-----------------------------------------|---------------|
| <b>Bradford reaktifi</b>                | Sigma-Aldrich |
| <b>BSA</b>                              | Copricorn     |
| <b>Amonyum persülfat</b>                | Applichem     |
| <b>TEMED</b>                            | BioFroxx      |
| <b>Akrilikamit/Bisakrilikamit (%40)</b> | Bioshop       |
| <b>Trizma base</b>                      | Sigma-Aldrich |
| <b>Glisin</b>                           | Isolab        |
| <b>Sodyum dodesil sülfat</b>            | Sigma-Aldrich |
| <b>o-dianisidin dihidroklorür</b>       | Sigma-Aldrich |
| <b>L-amino asit (L-lösin)</b>           | Sigma-Aldrich |
| <b>Sodyum fosfat dibazik</b>            | Sigma-Aldrich |
| <b>Sodyum fosfat monobazik</b>          | Sigma-Aldrich |
| <b>Yaban turbu peroksidazı (HRP)</b>    | Sigma-Aldrich |
| <b>DTT</b>                              | Molekula      |
| <b>2-Propanol</b>                       | Isolab        |
| <b>Metanol</b>                          | Sigma-Aldrich |
| <b>orta-Fosforik asit (%85)</b>         | Merck         |

### 3.3 Zehir Örneklerinin Çalışmalar İçin Hazırlanması

Çalışmada daha önce Türkiye'nin farklı bölgelerinden toplanmış bireylerden elde edilmiş dondurarak kurutma yöntemiyle toz haline getirildikten sonra soğukta saklanan örnekler

kullanılmıştır. Seçilmiş olan liyofilize ham zehir stokları birleştirilerek ultra saf su ile çözdirülüp, 0.45 µm'lik filtreden geçirildikten sonra 20 mg/mL konsantrasyonunda stok çözeltisi hazırlanmıştır. Zehirleri kullanılan *M. raddei* bireyleri Kağızman (Kars), *M. wagneri* bireyleri ise Karakurt (Kars) ve Malazgirt (Muş) illerinden toplanan ergin yılanlardan elde edilmiştir.

### 3.4 Protein Miktar Tayini

Bradford yöntemi ile zehir stoklarındaki proteinlerin miktar tayini yapılmıştır. 20 mg/mL konsantrasyondaki stok çözeltiler 1:20 oranında seyreltilmiştir. Sığır serum albümünü (BSA) standart olarak 200, 400, 600, 800 ve 1000 µg/mL konsantrasyonlarında kullanılmıştır. Boya/ornek oranı 1:49 (v/v) olarak belirlenmiştir.

Tablo 3.3. Bradford yönteminin uygulanmasında hazırlanan tüplerin içerikleri

|          | BSA Stokları (200, 400, 600, 800, 1000 µg/mL) | Bradford Reaktifi | Saf su | Seyreltilmiş Zehir Stoğu |
|----------|-----------------------------------------------|-------------------|--------|--------------------------|
| Blank    | -                                             | 980 µL            | 20 µL  | -                        |
| Standart | 20 µL                                         | 980 µL            | -      | -                        |
| Örnek    | -                                             | 980 µL            | -      | 20 µL                    |

Yukarıdaki tabloda (Tablo 3.3.) belirtilen değerlerde tüpler hazırlanmış, standart ve örneklerin Bradford reaktifi ile bağlanması için vorteks ile 1-2 saniye karıştırılıp ~20 dakika oda sıcaklığında inkübasyona bırakılmıştır. UV/VIS spektrofotometre cihazında 595 nm dalga boyunda optik yoğunluk (OD) değerli alınmıştır. Standart ve örnekler için üç teknik tekrar yapılmış olup değerlerin ortalamaları alınarak standart eğri grafiği oluşturulmuştur. Ayrıca zehir örneklerinin konsantrasyonları ve yüzdeleri (%) hesaplanmıştır.

### **3.5 Yüksek Basınçlı Sıvı Kromatografisi (HPLC) ile Zehir Proteinlerinin Fraksiyonlanması**

Bu çalışmada 7.5 mm I.D x 7.5 cm çap ve uzunluğunda, 10  $\mu\text{m}$  partikül büyülüğüne sahip koruyucu kolon (TSKgel SW) ve TSKgel 7.5 mm I.D x 60 cm çap ve uzunluğunda, 10  $\mu\text{m}$  partikül büyülüğüne sahip jel filtrasyon ayırma kolonu (G2000SW) kullanılarak HPLC ile ayrılmıştır. Fraksiyonlar el ile çıkış zamanlarına göre toplanmıştır.

Metot optimizasyonu yapılarak saflaştırmada kullanılacak tampon çözelti, akış hızı ve yüklenen örnek miktarı belirlenmiştir (Tablo 3.4). Optimizasyonun ardından çalışmada 0.1 M fosfat tamponu (pH 6,8) kullanılmış olup izokratik olarak 0.5 mL/dk akış hızı uygulanmıştır. Ayrılmış 280 nm ve 215 nm dalga boylarında “diode array dedector” (DAD) ile takip edilmiştir.

Tablo 3.4. Metot optimizasyonunda kullanılan farklı tamponlar ve yükleme miktarları

| Tampon                                   | Akış Hızı (mL/dk) | Zehir Konsantrasyonu (mg/mL) | Yükleme Miktarı ( $\mu\text{L}$ ) |
|------------------------------------------|-------------------|------------------------------|-----------------------------------|
| 0.1 M PB+0.1 M NaCl                      | 0.5               | 10                           | 10                                |
| 0.1 M PB pH 6,8                          | 0.5               | 10                           | 10                                |
| 0.1 M PB+0.1 M $\text{Na}_2\text{SO}_4$  | 0.5               | 10                           | 10                                |
| 0.1 M PB+0.1 M NaCl                      | 0.5               | 10                           | 15                                |
| 0.1 M PB+0.1 M $\text{Na}_2\text{SO}_4$  | 0.7               | 10                           | 10                                |
| 0.1 M PB+0.05 M $\text{Na}_2\text{SO}_4$ | 0.5               | 10                           | 10                                |

### **3.6 L-Amino Asit Oksidaz Enzim Aktivite Tayini**

L-amino asit oksidaz aktivitesinin ölçülmesinde More ve ark. (2010) tarafından geliştirilen spektrofotometrik yöntem, bazı modifikasyonlar ile kullanılmıştır. LAAO enzim aktivite tayininde zamana karşı enzimin substrat ile etkileşmesi esas alınmıştır.

LAAO enzimi kofaktör olan FAD'a bağlanarak substratı oksidatif deaminasyonu yoluyla (L-lösin) imino aside dönüştürken bağlanmış olduğu FAD'ı FADH<sub>2</sub>'ye indirger ve FADH<sub>2</sub> O<sub>2</sub> varlığında FAD'a yükseltgenirken H<sub>2</sub>O<sub>2</sub> yan ürünü oluşturur. HRP H<sub>2</sub>O<sub>2</sub> varlığında peroksidaz substratı olan *o*-dianisidin dihidroklorürü oksitleyerek sarı-turuncu renk oluşumuna neden olur.

Çalışma için kullanılmış olan kimyasallar 0.1 M fosfat tamponu (pH 6,8) ile çözdirülmüştür. 10 mg/mL *o*-dianisidin dihidroklorür, 10 mg/mL HRP ve 100 mM L-lösin hazırlanmıştır.

Bu çalışma için jel filtrasyon kromatografisi ile bileşenlerine ayrılan zehir örneklerinden birer saflaştırma seçilmiş olup her bir fraksiyonun ve karşılaştırmalı olarak ham zehirdeki enzim aktivitesine bakılmıştır. L-amino asit oksidaz enzim aktivite tayini için kullanılan kimyasallar ve miktarları Tablo 3.5.'te gösterilmiştir.

Tablo 3.5. L-amino asit oksidaz enzim aktivite ölçümü için tüplerin hazırlanışı

| Kimyasal                                 | Örnek Tüpler | Ham Zehir | Negatif Kontrol | Blank  |
|------------------------------------------|--------------|-----------|-----------------|--------|
| <b><i>o</i>-Dianisidin dihidroklorür</b> | 20 µL        | 20 µL     | 20 µL           | -      |
| <b>L-amino asit (L-lösin)</b>            | 100 µL       | 100 µL    | 100 µL          | -      |
| <b>HRP</b>                               | 20 µL        | 20 µL     | 20 µL           | -      |
| <b>Fraksiyonlar</b>                      | 860 µL       | -         | -               | -      |
| <b>Ham Zehir</b>                         | -            | 50 µL     | -               | -      |
| <b>0.1 M PB pH 6,8</b>                   | -            | 810 µL    | 860 µL          | 800 µL |
| <b>Saf Su</b>                            | -            | -         | -               | 200 µL |

Tüpler hazırlandıktan sonra 5 dk boyunca her dakikada ölçüm alınmıştır. Bunun sonucunda OD değerlerinin farkları alınarak enzimin dakikada gerçekleşen aktivitesi belirlenmiştir. Ortalama fark değerine göre, 0.01 OD artışı 1 birim (U) olarak karşılaştırma amacıyla hesaplanmıştır.

### **3.7 Sodyum Dodesil Sülfat Poliakrilamat Jel Elektroforezi (SDS-PAGE)**

LAAO aktivitesi tespit edilen fraksiyon için yapılacak SDS-PAGE çalışmasından önce içerisindeki protein miktarının belirlenmesi için Bradford yöntemi uygulanmıştır. Standart olarak BSA 200, 100, 50, 25, 12.5, 6.25  $\mu$ g/mL konsantrasyonlarında hazırlanmıştır. Boya/ornek oranı 1:10 (v/v) belirlenip çalışma iki teknik tekrar olarak uygulanmıştır. Örnekler oda sıcaklığında 15 dakika inkübasyona bırakılmıştır. Daha sonra spektrofotometre cihazında ölçümleri yapılip OD değerlerinin ortalamaları alınmıştır ve standart eğri grafiği oluşturulmuştur. Ardından fraksiyonlar 3 kDa cut-off değerine sahip mini ultrafiltrasyon tüplerine aktarılmış, 12.500 rpm'de santrifüj ile konsantre edilmiştir.

SDS-PAGE jel elektroforezi için %12'lik koşturma ve %4'lük yiğma jeli hazırlanmıştır. Jellerin hazırlanışı Tablo 4.6'da gösterilmiştir.

Tablo 3.6. SDS-PAGE jellerinin hazırlanışı

| Kimyasallar                     | %12'lik Koşturma Jeli | %4'lük Yiğma Jeli |
|---------------------------------|-----------------------|-------------------|
| Deiyonize su                    | 4.36 mL               | 3.15 mL           |
| 1.5 M Tris-HCl pH 8,8           | 2.5 mL                | -                 |
| 0.5 M Tris-HCl pH 6,8           | -                     | 1.25 mL           |
| %40'luk akrilamid/bis-akrilamid | 3 mL                  | 500 $\mu$ L       |
| %10 SDS                         | 100 $\mu$ L           | 50 $\mu$ L        |
| %10 APS                         | 50 $\mu$ L            | 25 $\mu$ L        |
| TEMED                           | 5 $\mu$ L             | 5 $\mu$ L         |

Jeller hazır hale geldikten sonra örnekler hazırlanmıştır. Protein miktar tayininden sonra örneklerden yüklenecek miktar belirlenmiş olup, karşılaştırma amacıyla indirgenmemiş ve indirgenmiş olarak hazırlanıp yüklandı. İndirgenmemiş örneklerde 4x yükleme boyası ve saf su bulunurken, indirgenmiş örneklerde ek olarak indirgeyici ajan 2 M Ditiothreitol (DTT) kullanılmıştır. LAAO enzim aktivitesi belirlenmiş fraksiyonlar ve ham zehirler karşılaştırmalı şekilde jele yüklenmiştir. Hazırlanan örneklerin boyaya ile bağlanması için 5 dk sıcak su banyosunda inkübe edilmiştir.

Proteinler jelde ~ 2 saat koşturulduktan sonra distile su ile 3 kez (her seferinde su dökülperek) 5'er dakika çalkalayıcıda 70 rpm'de yıkanmıştır. Ardından fiksatifin (%100'lük metanol, %85'lik orto-Fosforik asit, distile su) içerisinde 30 dakika çalkalayıcıda (70 rpm) bekletilmiştir. Fiksatif dökülüp jel Coomassie boyaya çözeltisinde (%0,12 (w/v) Coomassie G-250, %10 (w/v) amonyum sülfat, %10 (v/v) orto-Fosforik asit, %20 (v/v) metanol) 16 saat, çalkalayıcıda (70 rpm) bırakılarak boyama işlemi yapılmıştır. Gece boyu boyaya ile muamele edilen jel, 3 kez 10 'ar dakika yıkanmıştır. Daha sonra 1 saat x 3 kez olacak şekilde ve her seferinde su yenilenerek destan edilmişdir.

## **4. BÖLÜM**

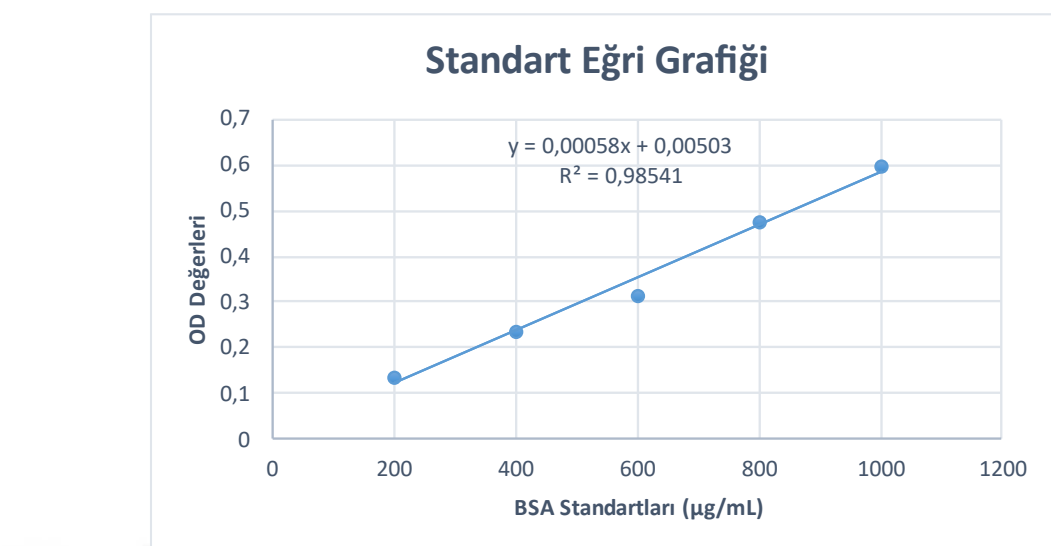
### **BULGULAR**

#### **4.1 Ham Zehirlerin Protein Miktar Tayinleri**

*Montivipera wagneri* ve *M. raddei* türlerine ait ham zehirlerinin protein miktar tayininde Bradford yöntemi kullanılmıştır. Standart olarak kullanılan BSA proteininin spektrofotometrik ölçüm ile alınan OD değerlerinin ortalamaları hesaplanarak (Tablo 4.1) standart eğri grafiği oluşturulmuştur (Şekil 4.1). Standart eğri grafiğindeki denklem ile ham zehirlerin protein konsantrasyonları (mg/mL) ve yüzdeleri (%) hesaplanmıştır (Tablo 4.2). Buna göre, HPLC saflaştırması için yükleme yapılacak protein miktarının belirlenmesini sağlayacak konsantrasyon değerleri elde edilmiş olup ham zehir kuru ağırlığına göre *M. wagneri*'nin %75,16'sının, *M. raddei*'nin ise %82,69'unun proteinden olduğu hesaplanmıştır.

Tablo 4.1. BSA standartlarının OD değerleri ve ortalamaları

| BSA konsantrasyonu<br>( $\mu\text{g/mL}$ ) | OD       |            |             |       |
|--------------------------------------------|----------|------------|-------------|-------|
|                                            | I.Tekrar | II. Tekrar | III. Tekrar | ORT   |
| <b>200</b>                                 | 0,142    | 0,15       | 0,124       | 0,138 |
| <b>400</b>                                 | 0,284    | 0,211      | 0,217       | 0,237 |
| <b>600</b>                                 | 0,351    | 0,291      | 0,305       | 0,315 |
| <b>800</b>                                 | 0,511    | 0,46       | 0,464       | 0,478 |
| <b>1000</b>                                | 0,607    | 0,606      | 0,586       | 0,599 |



Şekil 4.1. BSA dilüsyonları ile oluşturulan standart eğri grafiği

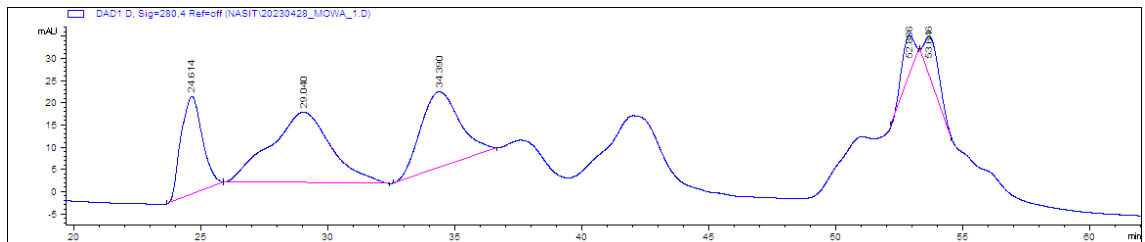
Tablo 4.2. *M. wagneri* ve *M. raddei* ham zehir OD değerleri ile hesaplanan konsantrasyon ve yüzdeleri

| Örnek             | OD       |            |            |       | Protein Konsantrasyonu (mg/mL) | Protein Yüzdesi (%) |
|-------------------|----------|------------|------------|-------|--------------------------------|---------------------|
|                   | I.Tekrar | II. Tekrar | III.Tekrar | ORT   |                                |                     |
| <i>M. wagneri</i> | 0,442    | 0,446      | 0,435      | 0,441 | 15,033                         | 75,167              |
| <i>M. raddei</i>  | 0,478    | 0,489      | 0,487      | 0,484 | 16,539                         | 82,695              |

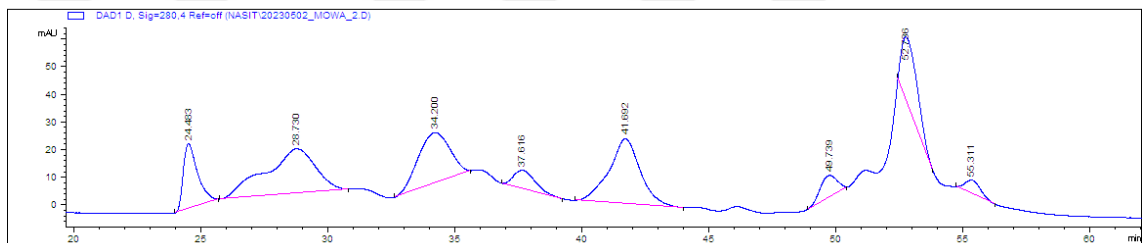
#### 4.2 *M. wagneri* ve *M. raddei* Ham Zehirlerinin HPLC ile Fraksiyonlanması

*M. wagneri* ve *M. raddei* türlerine ait ham zehirlerin saflaştırılması yapılmıştır. Bu amaçla öncelikle Materyal ve Yöntem bölümünde belirtildiği şekilde farklı hareketli faz tamponları, akış hızı ve yükleme miktarları ile metot optimizasyon çalışması yapılmıştır. Bu çalışmanın sonuçlarına ait kromatogramlar Şekil 4.2-4.7 arasında verilmiştir. Optimizasyon çalışmasında 0.1 (soydum) fosfat tamponu (PB) hareketli fazda baz olarak

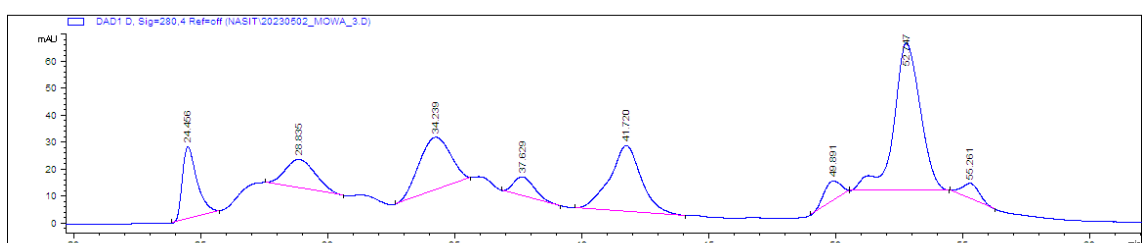
kullanılmış olup, sodyum klorür ve sodyum sülfat eklemeleri yapılmıştır. Sonuçlara göre tuz eklemesinin sonuçları iyi yönde etkilemediği görülmüştür. Ayrıca 0.5 mL/dk akış hızı 0.7 mL/dk hızına göre daha iyi sonuç vermiştir.



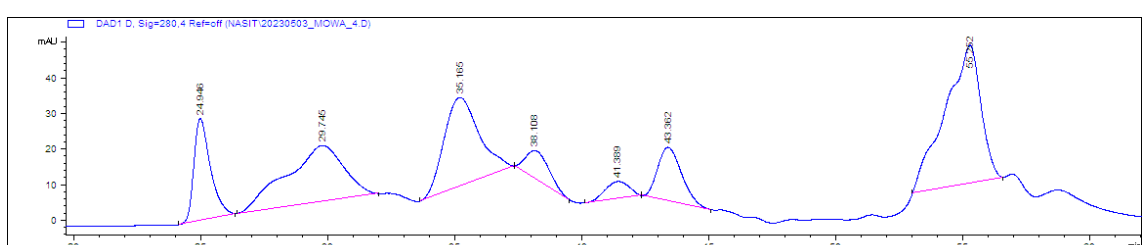
Şekil 4.2. Deneme-1 0.1M PB + 0.1 M NaCl, 0.5 mL/dk akış hızı, 10 µL enjeksiyon



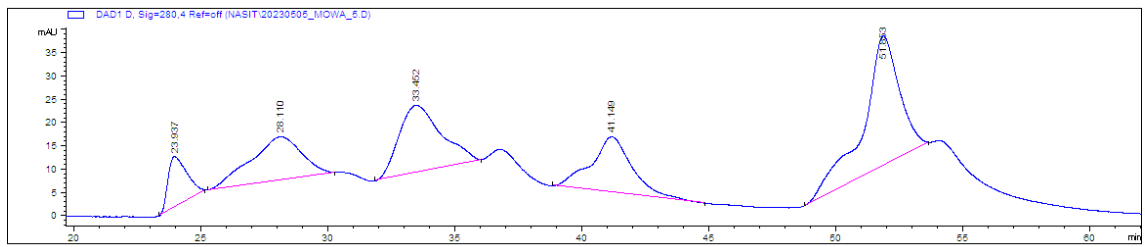
Şekil 4.3. Deneme-2 0.1M PB, 0.5 mL/dk akış hızı, 10 µL enjeksiyon



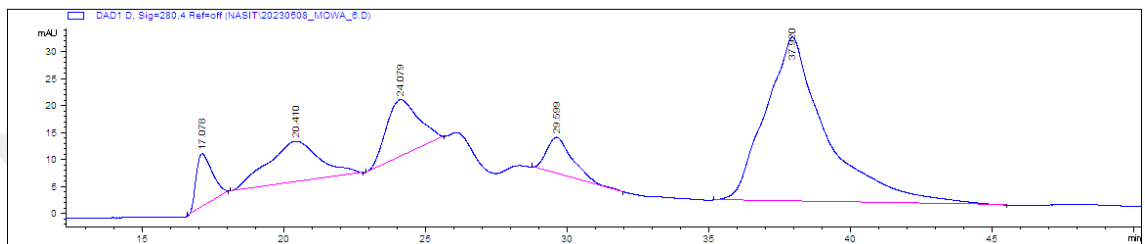
Şekil 4.4. Deneme-3 0.1M PB + 0.1 M Na<sub>2</sub>SO<sub>4</sub>, 0.5 mL/dk akış hızı, 10 µL enjeksiyon



Şekil 4.5. Deneme-4 0.1M PB + 0.1M NaCl, 0.5 mL/dk akış hızı, 15 µL enjeksiyon

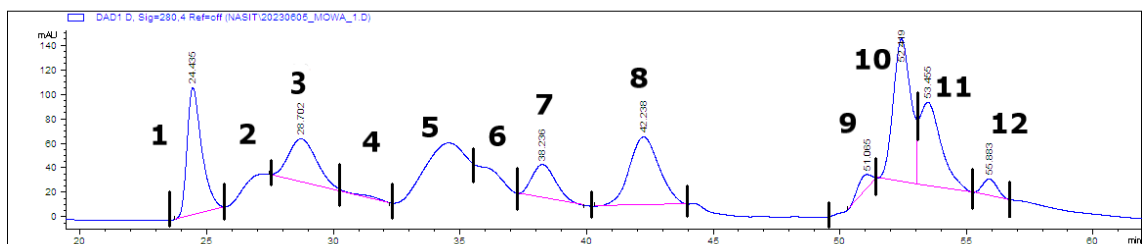


Şekil 4.6. Deneme-5 0.1M PB + 0.1 M Na<sub>2</sub>SO<sub>4</sub>, 0.7 mL/dk akış hızı, 10 µL enjeksiyon

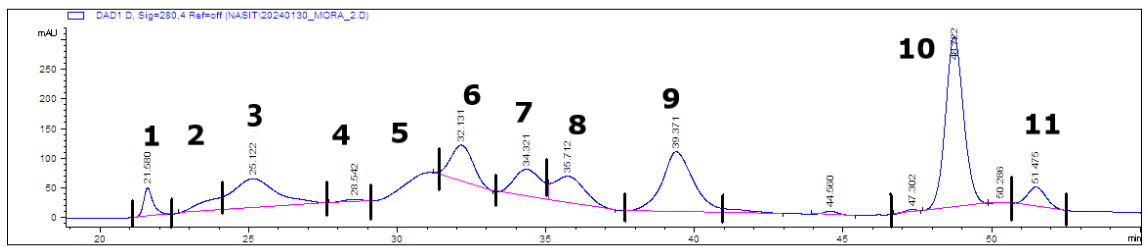


Şekil 4.7. Deneme-6 0.1M PB + 0.05M Na<sub>2</sub>SO<sub>4</sub>, 0.5 mL/dk akış hızı, 10 µL enjeksiyon

Optimizasyonun ardından yapılan çalışmada 0.1 M fosfat tamponu kullanılmasına karar verilmiş olup 0.5 mL/dk akış hızı uygulanmıştır. Çalışma boyunca 10 mg/mL veya 20 mg/mL stok zehirler kullanılarak 10-20 µL arası yükleme yapılmıştır. Fraksiyonlama için pikler Şekil 4.8. ve Şekil 4.9.'da gösterildiği gibi numaralandırılıp tüplere ayrılmıştır. Daha sonraki çalışmalarda kullanılmak üzere -80°C dondurucuda muhafaza edilmiştir.



Şekil 4.8. *M. wagneri* ham zehrinin fraksiyonlanması ait 280 nm dalga boyunda elde edilmiş kromatogram görüntüsü

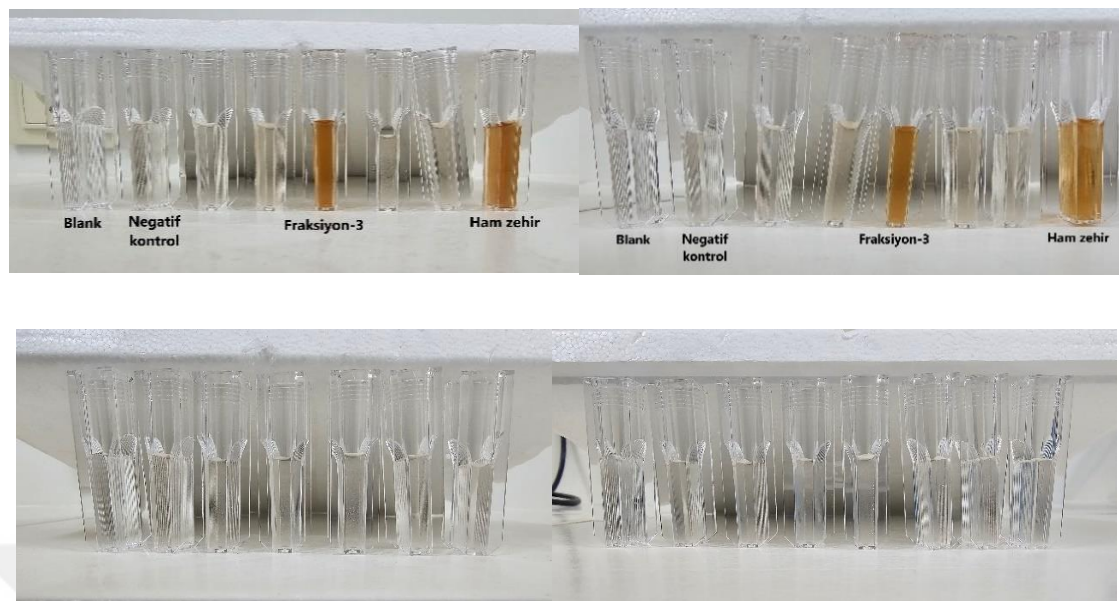


Şekil 4.9. *M. raddei* ham zehrini fraksiyonlanması ait 280 nm dalga boyunda elde edilmiş kromatogram görüntüsü

Her iki türün zehrinde bulunan proteinler jel filtrasyon kolonu ile moleküller ağırlıklarına göre ayrılmıştır. Alınan sonuçlara göre *M. wagneri* zehrinde 12, *M. raddei*'de ise 11 fraksiyon belirlenmiştir. Genel profil benzemekle birlikte, bazı kalitatif ve kantitatif farklılıklar da görülmektedir. Özellikle 50. dakika sonrasında görülen düşük moleküller ağırlıklı proteinlerde *M. wagneri*'de daha fazla pik vermiştir.

#### 4.3 Fraksiyonların L-Amino Asit Oksidaz Aktivite Tayini

LAAO aktivite tayininde spektrofotometrik ölçüm методu kullanılmıştır. Aktivite tayini için hazırlanan küvetler (Şekil 4.10) cihaza yerleştirilip 436 nm dalga boyunda ölçülmüş olup 0. dakikadan 5. dakikaya kadar her dakika başında alınan OD değerleri ile tablo oluşturulmuştur. Bu değerler negatif kontrolden çıkartılmıştır. Ardından enzimin aktivitesinin hesaplanması için değerler birbirinden çıkartılıp ortalamaları alınmıştır. Elde edilen veriler dakikada 0.01 OD artışı sebep olan aktivitenin 1 birim olarak ifade edilmesiyle karşılaştırılmalı olarak değerlendirilmiştir.



Şekil 4.10. LAAO enzim aktivitesi tayini. (Solda ve alta) *M. wagneri* fraksiyonlara ait küvetler; (sağda ve alta) *M. raddei* fraksiyonlarına ait küvetler

Enzim aktivitesi ölçülürken küvetlere HRP'nin eklenmesiyle her iki türde ait 3. fraksiyonların bulunduğu küvetlerde renk değişimi ham zehirlerin bulunduğu küvetlerle doğru orantılı olarak hızlı bir şekilde gerçekleşmiştir (Şekil 4.10). Spektrofotometreden alınan OD değerleriyle yapılan hesaplamalar doğrultusunda 3. fraksiyonların dışındaki fraksiyonların aktiviteleri eksiz (-) veya çok düşük değerde olup 3. fraksiyonlarda aktivite yüksek çıkmıştır ve bu veriler LAAO enzime sahip olduğunu kanıtlamıştır (Tablo 4.3).

Tablo 4.3. Fraksiyonların enzim aktiviteleri

| <i>M. wagneri</i> | Ünite | <i>M. raddei</i> | Ünite |
|-------------------|-------|------------------|-------|
| Fr-1              | -     | Fr-1             | -     |
| Fr-2              | -     | Fr-2             | -     |
| Fr-3              | 6,5   | Fr-3             | 8,3   |
| Fr-5              | -     | Fr-4             | -     |
| Fr-6              | -     | Fr-5             | -     |
| Ham zehir         | 20,9  | Ham zehir        | 8,7   |
| Fr-7              | -     | Fr-6             | -     |

Tablo 4.3. Devamı

|       |   |       |   |
|-------|---|-------|---|
| Fr-8  | - | Fr-7  | - |
| Fr-10 | - | Fr-8  | - |
| Fr-11 | - | Fr-9  | - |
| Fr-12 | - | Fr-10 | - |

Aktivitenin karşılaştırılması için dakikada 0,01 OD değişimi 1 birim olarak tanımlanmıştır. *M. wagneri* ham zehri ilk 2 dakika içinde çok fazla aktivite gösterdiği ve OD değeri 1'i geçtiği için bu zaman dilimlerine göre hesaplanmıştır.

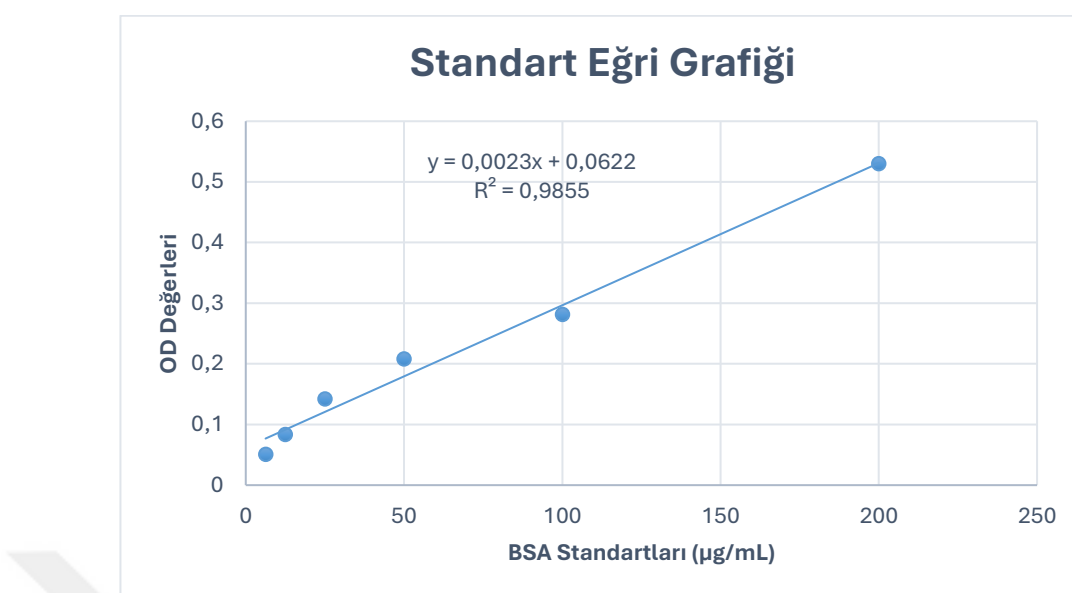
#### 4.4 SDS-PAGE Bulguları

##### 4.4.1 SDS-PAGE için fraksiyonlarda protein miktar tayini

Bu çalışma için LAAO aktivitesi belirlenmiş fraksiyonların protein miktar tayini Bradford yöntemi kullanılarak belirlenmiştir. Standart olarak BSA'nın farklı konsantrasyonları kullanılmıştır. Spektrofotometre cihazında 595 nm dalga boyunda ölçüm alınıp değerlerin ortalamaları ile tablo oluşturulmuştur (Tablo 4.4). Tablodaki verilerle bir standart eğri grafiği oluşturulmuştur (Şekil 4.11.) ve fraksiyonların protein konsantrasyonları grafikten elde edilen denklem ile hesaplanmıştır (Tablo 4.5).

Tablo 4.4. Aktif fraksiyonların protein miktar tayininde kullanılan BSA standartlarına ait OD değerleri

| BSA Konsantrasyonları ( $\mu\text{g/mL}$ ) | I. Tekrar | II. Tekrar | ORT   |
|--------------------------------------------|-----------|------------|-------|
| 200                                        | 0,511     | 0,549      | 0,530 |
| 100                                        | 0,260     | 0,303      | 0,281 |
| 50                                         | 0,202     | 0,214      | 0,208 |
| 25                                         | 0,144     | 0,140      | 0,142 |
| 12,5                                       | 0,080     | 0,087      | 0,083 |
| 6,25                                       | 0,054     | 0,048      | 0,051 |



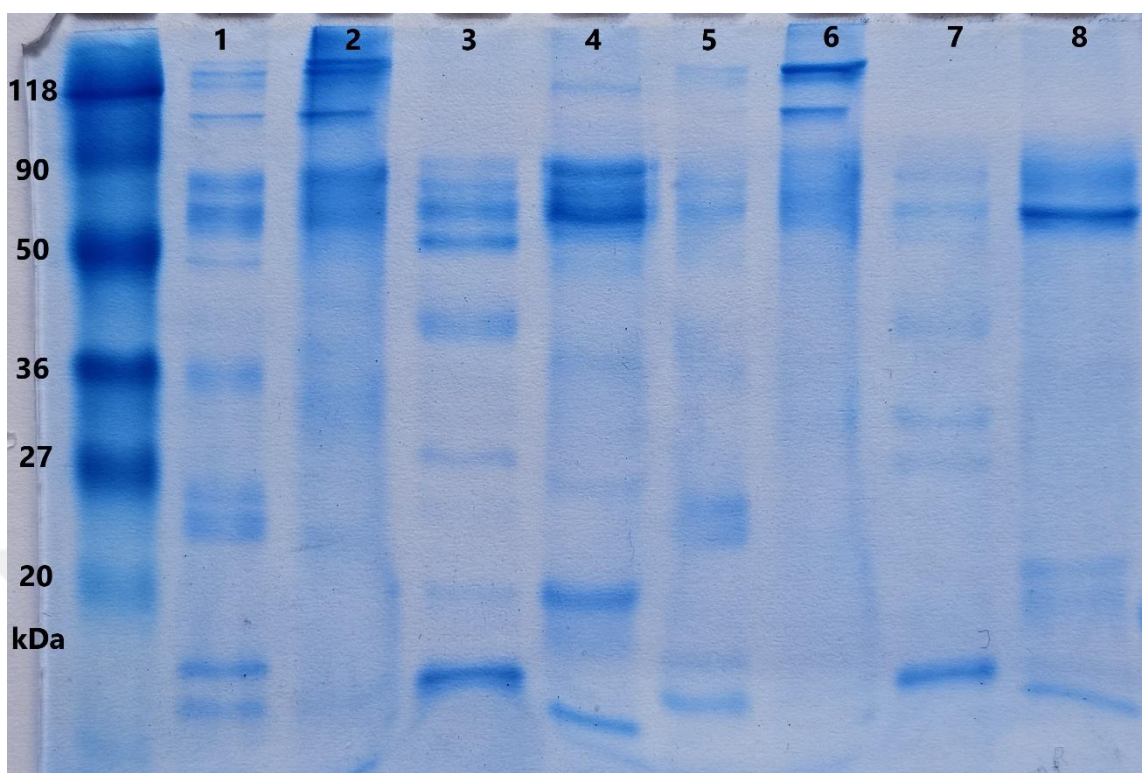
Şekil 4.11. Aktif fraksiyonların protein miktar tayininde kullanılan BSA standartlarına ait kalibrasyon grafiği

Tablo 4.5. Fraksiyonların protein miktar tayini sonuçları

| Örnek                | OD           |               | ORT   | Konsantrasyon (µg/ml) |
|----------------------|--------------|---------------|-------|-----------------------|
|                      | I.<br>Tekrar | II.<br>Tekrar |       |                       |
| <b>Mowa<br/>Fr-3</b> | 0,139        | 0,129         | 0,134 | 31,217                |
| <b>Mora<br/>Fr-3</b> | 0,278        | 0,326         | 0,302 | 104,260               |

#### 4.4.2 SDS-PAGE

SDS-PAGE yöntemi ile LAAO aktivitesi belirlenmiş fraksiyonlardaki (3 numaralı fraksiyonlar) proteinler ayrılarak moleküller ağırlıkları yaklaşık olarak belirlenmiştir. Karşılaştırma amacıyla ham zehirler de kullanılmıştır. SDS-PAGE jelinin görüntüsü Şekil 4.12.'de verilmiştir.



Şekil 4.12. Ham zehir ve fraksiyonlarının SDS-PAGE jel görüntüsü. Marker (en solda), (1) *M. wagneri* ham zehri indirgenmemiş, (2) *M. wagneri* fr-3 indirgenmemiş, (3) *M. wagneri* ham zehri indirgenmiş, (4) *M. wagneri* fr-3 indirgenmiş, (5) *M. raddei* ham zehri indirgenmemiş, (6) *M. raddei* fr-3 indirgenmemiş, (7) *M. raddei* ham zehri indirgenmiş, (8) *M. raddei* fr-3 indirgenmiş

Sonuçlara bakıldığından, *M. wagneri*'ye ait fraksiyon 3'ün doğal (indirgenmemiş) halde 5 protein bandı, *M. raddei*'nin ise benzer şekilde 5 protein bandı oluşturduğu görülmüştür (50-90 kDa arasındaki bantlar biraz daha belirsizdir) (Tablo 4.6). Her iki türün fraksiyonunda da 90-118 kDa arasındaki bant ve 118 kDa üzerindeki iki protein bandı DTT eklenmesiyle elde edilen indirgenmiş örneklerde kaybolmuştur (Tablo 4.7). Benzer durum ham zehirlerde de görülmektedir. İndirgenmiş fraksiyonlarda *M. wagneri* ve *M. raddei* için sırasıyla 9 ve 6 bant görülmüştür.

Tablo 4.6. SDS-PAGE jel görüntüsüne göre 2. ve 6. kuyucuklara (indirgenmemiş fraksiyonlara) ait bantların yaklaşık moleküler ağırlıkları

| Bant No. | Mowa İndirgenmemiş | Mora İndirgenmemiş |
|----------|--------------------|--------------------|
| <b>1</b> | >118 kDa           | >118 kDa           |
| <b>2</b> | >118 kDa           | >118 kDa           |
| <b>3</b> | 118-90 kDa         | 118-90 kDa         |
| <b>4</b> | 90-50kDa           | 90-50kDa           |
| <b>5</b> | 90-50 kDa          | 90-50kDa           |

Tablo 4.7. SDS-PAGE jel görüntüsüne göre 4. ve 8. kuyucuklara (indirgenmiş fraksiyonlara) ait bantların yaklaşık moleküler ağırlıkları

| Bant No. | Mowa İndirgenmiş | Mora İndirgenmiş |
|----------|------------------|------------------|
| <b>1</b> | ~118 kDa         | 90-50 kDa        |
| <b>2</b> | 90-50 kDa        | 90-50 kDa        |
| <b>3</b> | 90-50 kDa        | 27-20 kDa        |
| <b>4</b> | 90-50 kDa        | ~20 kDa          |
| <b>5</b> | 90-50 kDa        | <20kDa           |
| <b>6</b> | ~36 kDa          | <20kDa           |
| <b>7</b> | 27-20 kDa        | -                |
| <b>8</b> | ~20 kDa          | -                |
| <b>9</b> | <20kDa           | -                |

## 5. BÖLÜM

### SONUÇLAR VE ÖNERİLER

Bu tez çalışmasında Türkiye'de bulunan *Montivipera wagneri* ve *Montivipera raddei* engerek türlerine ait zehirlerin jel filtrasyon kromatografisi ile kısmi saflaştırması yapılmış olup LAAO enzimini içeren fraksiyon, 3 numaralı fraksiyon olarak belirlenmiştir. Şekil 4.10'da görüldüğü gibi 3. fraksiyon dışında diğer fraksiyonların hiçbirinde belirgin renk değişimi gözlemlenmemiş olup spektrofotometrede 436 nm dalga boyunda yapılan ölçüm sonrasında elde edilen OD değerleri de diğer fraksiyonların enzim aktivitesine sahip olmadığını doğrulamıştır. Bu veriler sonrasında yapılan *M. wagneri* ve *M. raddei* 3. fraksiyonlarına ait SDS-PAGE çalışmasının sonuçlarına bakıldığında *M. wagneri* ve *M. raddei*'nin doğal (indirgenmemiş) halde birbirlerine benzer moleküller ağırlıklarda 5 protein bandı içermesi, 90-118 kDa arasındaki bir bant ve 118 kDa üzerindeki iki protein bandın indirgenmiş örneklerde kaybolması fraksiyonda bulunan proteinler hakkında fikir vermektedir. Bu sonuçlar aktif (LAAO içeren) fraksiyonlarda multimerik yapılı proteinler olduğunu göstermektedir. Ancak indirgenmemiş fraksiyonlarda bulunan birden fazla bant, jel filtrasyon kromatografisi ile yapılan ayırtımada fraksiyonda birden fazla protein bulunduğuuna dolayısıyla LAAO enziminin tek basamakta tam olarak saf elde edilmediğine işaret etmektedir. Jel filtrasyon kromatografisi yılan zehirlerinden proteinlerin saflaştırılması için genellikle ilk basamak olarak kullanılmakta olup, çoğunlukla ek kromatografi basamakları tam saflaştırma için gerekli olmaktadır. Nitekim Tonismagi ve ark. (2006) da *Macrovipera lebetinus* zehrinden LAAO enziminin saflaştırması çalışmasında zehrin sahip olduğu proteazların jel filtrasyon fraksiyonunda LAAO ile etkileşime girebileceğini ve LAAO enzimleri ile aynı moleküller ağırlığa ve izoelektrik noktaya sahip olabilecek proteaz enzimleri olabileceğini belirtmiştir. Buradan yola çıkarak *M. wagneri* ve *M. raddei* 3 numaralı fraksiyonlarında Şekil 4.12'de görülen yüksek moleküller ağırlıktaki bantların proteaz enzimlerine ait olabileceği düşünülmüştür.

SvLAAO'lar genel olarak 110-150 kDa moleküller ağırlığa sahip homodimerik yapıda olan enzimlerdir (More ve ark. 2010). *M. wagneri* zehrinin saflaştırılıp LAAO enzimi tanımlaması veya genel proteomik karakterizasyonu daha önce yapılmamıştır. Ancak

yakın türler ile yapılmış çalışmalara bakarak bilgi edinilebilir. *M. raddei* zehri için de LAAO saflaştırmaya ve aktivitesini belirlemeye yönelik bir çalışma bulunmamakla birlikte literatürdeki bilgilere bakıldığı zaman Sanz ve ark. (2008) *M. raddei* zehrinde kısmi sekanslama tabanlı venomik yaklaşımı ile tanımladıkları LAAO enziminin SDS-PAGE ile induklenmiş ve induklenmemiş koşullar altında 56 kDa moleküller ağırlığa sahip olduğunu rapor etmişlerdir. Aynı cinse ait *Montivipera bulgardaghica* zehrinden de benzer yaklaşımla LAAO enzimi 109 kDa olarak tanımlanmıştır (Nalbantsoy ve ark. 2017). Jafari ve ark. (2023) *M. raddei* zehrinin kısmi saflaştırmasını yaparak SDS-PAGE ve 2D-PAGE çalışmaları ile LAAO enziminin monomerik formunun 58 kDa olduğunu bildirmiştirlerdir. Bu tez çalışmasında ise her iki türün zehrinde de indirgenmemiş durumda Tablo 4.6.'da belirtilen moleküller ağırlıklarda bantlar gözükmektedir. Literatürde şimdije kadar saflaştırılmış svLAAO'lara ait bulgular incelendiğinde (Tablo 2.1.), bu çalışmada görülen yaklaşık 118-90 kDa aralığındaki bantların dimerik LAAO'lardan kaynaklanabileceği düşünülmüştür. Fraksiyonlarda DTT ile indirgendikten sonra 55-60 kDa civarında bir bandın yoğun olarak görülmesi de bu bulguyu desteklemektedir. Ancak Sanz ve ark. (2008) tarafından yapılan çalışmada LAAO enziminin *M. raddei* zehrinden hem indirgenmiş hem de indirgenmemiş örneklerde yaklaşık 56 kDa moleküller ağırlığa sahip banttan tanımlanmış olması, bu zehirde monomerik bir LAAO bulunabileceğine de işaret etmektedir. Nitekim genel olarak svLAAO'lar homodimerik yapıda olsa da bazı türlerde monomerik yapılı enzimler bulunabileceği de rapor edilmiştir (Jin ve ark. 2007; Wei ve ark. 2009; Rey-Suárez ve ark. 2018). Bu tez çalışmasında elde edilen sonuçlara göre, enzimin kesin olarak karakterize edilebilmesi için tam olarak saflaştırılması ve ondan sonra SDS-PAGE ve kütle spektrometresi gibi yöntemlerle moleküller ağırlığı ve multimerik yapısının kesin olarak ortaya koyması gerekmektedir.

Literatür özetleri kısmında verilen Tablo 2.1'de de görüldüğü gibi yılan zehirlerinin diğer bileşenlerinde olduğu üzere LAAO enzimleri de türden türüne yapısal ve enzimatik olarak değişiklik göstermektedir. Ayrıca yılan zehirleri yaşa, cinse, avlandığı canlılara göre de değişiklik gösterebilmektedir (Bocian ve Hus 2020). Tez kapsamında ise ham zehirle yapılan çalışmaya bakıldığından *M. wagneri*'nin LAAO aktivitesi *M. raddei*'ye göre daha fazla çıkmıştır. Bu iki tür her ne kadar aynı cinse ait olsa da filogenetik olarak ayrı kladlar oluşturan iki farklı tür grubunun üyeleri olarak değerlendirilmektedir (Stümpel ve ark. 2016). Bu anlamda enzim aktivitelerinde de farklılık görülmesi beklenebilir.

Sonuç olarak, bu tez kapsamında *M. wagneri* ve *M. raddei* zehirlerinden LAAO saflaştırılmasına odaklanan çalışmalar ilk kez gerçekleştirilmiştir. Özellikle endemik *M. wagneri* zehrinin protein içeriği ve biyoaktivitelerilarındaki bilgilerimiz çok kısıtlıdır. Bu çalışmada her iki türün zehrinden de LAAO içeren aktif jel filtrasyon fraksiyonu belirlenmiş ve saflaştırılmıştır. İlgili fraksiyon birden fazla protein içerdiginden kısmi saflaştırma olarak değerlendirilmiştir. Elde edilen fraksiyonlar, iyon değişim, ters faz gibi sonraki kromatografik basamaklar ile tekrar ayırtırılarak LAAO enziminin tam olarak saflaştırılması gelecek çalışmalar ile mümkün olabilecektir. Bu sayede enzimin tam karakterizasyonu yapılip biyolojik aktiviteleri belirlenerek zehirlenme patogenezindeki rolü ve biyoteknolojik açıdan kullanımını değerlendirebilecektir.

## KAYNAKLAR

- Averin AS, Utkin YN (2021) Cardiovascular Effects of Snake Toxins: Cardiotoxicity and Cardioprotection. *Acta Naturae*, 13:4-14.
- Ayvazyan NM, Zaqaryan NA, Ghazaryan NA (2012) Molecular events associated with *Macrovipera lebetina obtusa* and *Montivipera raddei* venom intoxication and condition of biomembranes. *Biochimica et Biophysica Acta (BBA) Biomembranes*, 1818:1359-1364.
- Barbosa LG, Costa TR, Borges IP, Costa MS, Carneiro AC, Borges BC, Silva MJB, Amorim FG, Quinton L, Yoneyama KAG, de Melo Rodrigues V, Sampaio SV, Rodrigues RS (2021) A comparative study on the leishmanicidal activity of the L-amino acid oxidases BjussuLAAO-II and BmooLAAO-II isolated from Brazilian *Bothrops* snake venoms. *International Journal of Biological Macromolecules*, 167:267-278.
- Bocian A, Hus KK (2020) Antibacterial properties of snake venom components. Springer 74:407-419.
- Bordon KCF, Cologna CT, Fornari-Baldo EC, Pinheiro-Júnior EL, Cerni FA, Amorim FG, Anjolette FAP, Cordeiro FA, Wiezela GA, Cardoso IA, Ferreira IG, Oliveira IS, Boldrini-França J, Pucca MB, Baldo MA, Arantes EC (2020) From Animal Poisons and Venoms to Medicines: Achievements, Challenges and Perspectives in Drug Discovery. *Frontiers in Pharmacology* 11:1132.
- Chowdhury A, Zdenek CN, Lewin MR, Carter R, Jagar T, Ostanek E, Harjen H, Aldridge M, Soria R, Haw G, Fry BG (2021) Venom-Induced Blood Disturbances by Palearctic Viperid Snakes, and Their Relative Neutralization by Antivenoms and Enzyme-Inhibitors. *Front Immunol* 12:688802.
- Ciscotto P, Machado de Avila RA, Coelho EAF, Oliveira J, Diniz CG, Farías LM, de Carvalho MAR, Maria WS, Sanchez EF, Borges A, Chávez-Olórtegui C (2009)

Antigenic, microbicidal and antiparasitic properties of an L-amino acid oxidase isolated from *Bothrops jararaca* snake venom. *Toxicon* 53:330-341.

Costa TR, Menaldo DL, Zoccal KF, Burin SM, Aissa AF, Castro FAD, Faccioli LH, Greggi Antunes LM, Sampaio SV (2017) CR-LAAO, an L-amino acid oxidase from *Calloselasma rhodostoma* venom, as a potential tool for developing novel immunotherapeutic strategies against cancer. *Scientific Reports* 7:42673.

de Freitas V, Costa TR, Nogueira AR, Polloni L, Alves de Melo Fernandes T, Correia LIV, Borges BC, Teixeira SC, Silva MJB, Amorim FG, Quinton L, Saraiva AL, Espindola FS, Iwai LK, Rodrigues RS, Yoneyama KAG, de Melo Rodrigues Ávila V (2023) Biochemical characterization and assessment of leishmanicidal effects of a new L-amino acid oxidase from *Crotalus durissus collilineatus* snake venom (CollinLA AO-I). *Toxicon* 230:107156.

Göçmen B, Kumlutaş Y, Keskin NA (2008) Electrophoretic characterisation of the venom samples obtained from various Anatolian snakes (Serpentes: Colubridae, Viperidae, Elapidae). Article in *North-Western Journal of Zoology* 4:16-28

Guo C, Liu S, Yao Y, Zhang Q, Sun MZ (2012) Past decade study of snake venom L-amino acid oxidase. *Toxicon* 60:302-311.

IUCN (International Union for the Conservation) (2024a) of Nature “Wagner’s Viper” <https://www.iucnredlist.org/species/22998/9406944>.

IUCN (International Union for the Conservation) (2024b) “Armenian Viper” <https://www.iucnredlist.org/species/22993/9406370>.

Izidoro LFM, Sobrinho JC, Mendes MM, Costa TR, Grabner AN, Rodrigues VM, Da Silva SL, Zanchi FB, Zuliani JP, Fernandes CFC, Calderon LA, Stábeli RG, Soares AM (2014) Snake venom L-amino acid oxidases: Trends in pharmacology and biochemistry. *BioMed Research International* 2014:196754.

Jafari Z, Bandehpour M, Kaboli M, Kazemi B (2023) Partial proteomics of *Montivipera raddei* venom. *Trends Pept. Protein Sci* 8:1-5.

- Jin Y, Lee WH, Zeng L, Zhang Y (2007) Molecular characterization of L-amino acid oxidase from king cobra venom. *Toxicon* 50:479-489.
- Koh DCI, Armugam A, Jeyaseelan K (2006) Snake venom components and their applications in biomedicine. *Cellular and Molecular Life Sciences* 63:3030-3041.
- Kurtović T, Lang Balija M, Ayvazyan N, Halassy B (2014) Paraspecificity of *Vipera a. ammodytes*-specific antivenom towards *Montivipera raddei* and *Macrovipera lebetina obtusa* venoms. *Toxicon* 78:103-112.
- Lazarovici P, Marcinkiewicz C, Lelkes PI (2019) From snake venom's disintegrins and C-type lectins to anti-platelet drugs. *Toxins* 11:303.
- Li Lee M, Chung I, Yee Fung S, Kanthimathi MS, Hong Tan N (2014) Antiproliferative Activity of King Cobra (*Ophiophagus hannah*) Venom L-Amino Acid Oxidase. *Basic & Clinical Pharmacology & Toxicology* 114:336-343.
- Mcgivern JG (2007) Ziconotide: a review of its pharmacology and use in the treatment of pain. *Neuropsychiatric Disease and Treatment* 3:69-85.
- Mebert K, Göçmen B, İğci N, Karış M, Oğuz MA, Yıldız MZ, Teynie A, Stümpel N, Ursenbacher S (2020) Mountain Vipers in Central-eastern turkey: Huge range extensions for four taxa reshape decades of misleading perspectives. *Herpetological Conservation and Biology* 15:169-187.
- More SS, Kiran KM, Veena SM, Gadag JR (2010) Purification of an L-amino acid oxidase from *Bungarus caeruleus* (Indian krait) venom. *Journal of Venomous Animals and Toxins including Tropical Diseases* 16:60-76.
- Mukherjee AK, Saviola AJ, Burns PD, Mackessy SP (2015) Apoptosis induction in human breast cancer (MCF-7) cells by a novel venom L-amino acid oxidase (Rusvinoxidase) is independent of its enzymatic activity and is accompanied by caspase-7 activation and reactive oxygen species production. *Apoptosis* 20:1358-1372.
- Nalbantsoy A, Hempel BF, Petras D, Heiss P, Göçmen B, İğci N, Yıldız MZ, Süßmuth RD (2017) Combined venom profiling and cytotoxicity screening of the

Radde's mountain viper (*Montivipera raddei*) and Mount Bulgar Viper (*Montivipera bulgardaghica*) with potent cytotoxicity against human A549 lung carcinoma cells. *Toxicon*, 135:71-83.

Nalbantsoy A, İğci N, Göçmen B, Mebert K (2016) Cytotoxic potential of Wagner's Viper, *Montivipera wagneri*, venom. *North-Western Journal of Zoology* 12: 286-291.

Oliveira AL, Viegas MF, da Silva SL, Soares AM, Ramos MJ, Fernandes PA (2022) The chemistry of snake venom and its medicinal potential. *Nat Rev Chem* 6:451-469.

Ponnudurai G, Chung MCM, Tan NH (1994) Purification and Properties of the L-Amino Acid Oxidase from Malayan Pit Viper (*Calloselasma rhodostoma*) Venom. *Archives of Biochemistry and Biophysics* 313:373-378.

Rey-Suárez P, Acosta C, Torres U, Saldarriaga-Córdoba M, Lomonte B, Núñez V (2018) MipLAAO, a new L-amino acid oxidase from the redtail coral snake *Micrurus mipartitus*. *PeerJ* 6:e4924.

Rodrigues RS, da Silva JF, Boldrini França J, Fonseca FPP, Otaviano AR, Henrique Silva F, Hamaguchi A, Magro AJ, Braz ASK, dos Santos JI, Homsi-Brandeburgo MI, Fontes MRM, Fuly AL, Soares AM, Rodrigues VM (2009) Structural and functional properties of Bp-LAAO, a new L-amino acid oxidase isolated from *Bothrops pauloensis* snake venom. *Biochimie* 91:490-501.

Samel M, Vija H, Rönnholm G, Siigur J, Kalkkinen N, Siigur E (2006) Isolation and characterization of an apoptotic and platelet aggregation inhibiting L-amino acid oxidase from *Vipera berus berus* (common viper) venom. *Biochimica et Biophysica Acta- Proteins and Proteomics* 1764:707-714.

Sant'Ana CD, Menaldo DL, Costa TR, Godoy H, Muller VDM, Aquino VH, Albuquerque S, Sampaio SV, Monteiro MC, Stábeli RG, Soares AM (2008) RETRACTED: Antiviral and antiparasite properties of an L-amino acid oxidase from the Snake *Bothrops jararaca*: Cloning and identification of a complete cDNA sequence. *Biochemical Pharmacology* 76:279-288.

Sanz L, Ayvazyan N, Calvete JJ (2008) Snake venomics of the Armenian mountain vipers *MacroVIPERA lebetina obtusa* and *Vipera raddei*. Journal of Proteomics 71:198-209.

Soares TG, Santos JLD, Alvarenga VG, Santos JSC, Leclercq SY, Faria CD, Oliveira MAA, Bemquerer MP, Sanchez EOF, de Lima ME, Figueiredo SG, Borges MH (2020) Biochemical and functional properties of a new L-amino acid oxidase (LAAO) from *Micrurus lemniscatus* snake venom. International Journal of Biological Macromolecules 154:1517-1527.

Stábeli RG, Marcussi S, Carlos GB, Pietro RCLR, Selistre-De-Araújo HS, Giglio JR, Oliveira EB, Soares AM (2004) Platelet aggregation and antibacterial effects of an L-amino acid oxidase purified from *Bothrops alternatus* snake venom. Bioorganic and Medicinal Chemistry, 12:2881-2886.

Stábeli RG, Sant'Ana CD, Ribeiro PH, Costa TR, Ticli FK, Pires MG, Nomizo A, Albuquerque S, Malta-Neto NR, Marins M, Sampaio SV, Soares AM (2007) Cytotoxic L-amino acid oxidase from *Bothrops moojeni*: Biochemical and functional characterization. International Journal of Biological Macromolecules 41:132-140.

Stümpel N, Rajabizadeh M, Avci A, Wüster W, Joger U (2016) Phylogeny and diversification of mountain vipers (*Montivipera*, Nilson et al., 2001) triggered by multiple Plio-Pleistocene refugia and high-mountain topography in the Near and Middle East. Molecular Phylogenetics and Evolution 101:336-351.

Tan KK, Bay BH, Gopalakrishnakone P (2018) L-amino acid oxidase from snake venom and its anticancer potential. Toxicon 144:7-13.

Tavares C, Maciel T, Burin S, Ambrósio L, Ghisla S, Sampaio S, Castro F (2016) L-Amino acid oxidase isolated from *Calloselasma rhodostoma* snake venom induces cytotoxicity and apoptosis in JAK2V617F-positive cell lines. Revista Brasileira de Hematologia e Hemoterapia 38:128-134.

Tonin G, Klen J (2023) Eptifibatide, an Older Therapeutic Peptide with New Indications: From Clinical Pharmacology to Everyday Clinical Practice. International Journal of Molecular Sciences 24:5446.

Tõnismägi K, Samel M, Trummal K, Rönnholm G, Siigur J, Kalkkinen N, Siigur E (2006) L-Amino acid oxidase from *Vipera lebetina* venom: Isolation, characterization, effects on platelets and bacteria. *Toxicon* 48:227-237.

Toyama MH, Toyama DDO, Passero LFD, Laurenti MD, Corbett CE, Tomokane TY, Fonseca FV, Antunes E, Joazeiro PP, Beriam LOS, Martins MAC, Monteiro HSA, Fonteles MC (2006) Isolation of a new L-amino acid oxidase from *Crotalus durissus cascavella* venom. *Toxicon* 47:47-57.

Ullah A (2020) Structure–Function Studies and Mechanism of Action of Snake Venom L-Amino Acid Oxidases. *Frontiers in Pharmacology* 11:110.

Wei JF, Yang HW, Wei XL, Qiao LY, Wang WY, He SH (2009) Purification, characterization and biological activities of the L-amino acid oxidase from *Bungarus fasciatus* snake venom. *Toxicon* 54:262-271.

WHO (World Health Organization) (2024) “Snakebite Envenoming” <https://www.who.int/news-room/fact-sheets/detail/snakebite-envenoming>.

Xiong Y, He Q, Yu X, Li B, Song Z (2022) The anti-ovarian carcinoma activity of L-amino acid oxidase from *Crotalus adamanteus* venom in vivo and in vitro. *Medical Oncology* 39:112.

Zhang L, Wu WT, Zhangyz L (2008) Isolation and characterization of ACTX-6: a cytotoxic L-amino acid oxidase from *Akistodon acutus* snake venom. *Natural Product Research* 22:554-563.

Zhang YJ, Wang JH, Lee WH, Wang Q, Liu H, Zheng YT, Zhang Y (2003) Molecular characterization of *Trimeresurus stejnegeri* venom L-amino acid oxidase with potential anti-HIV activity. *Biochemical and Biophysical Research Communications* 309:598-604.